

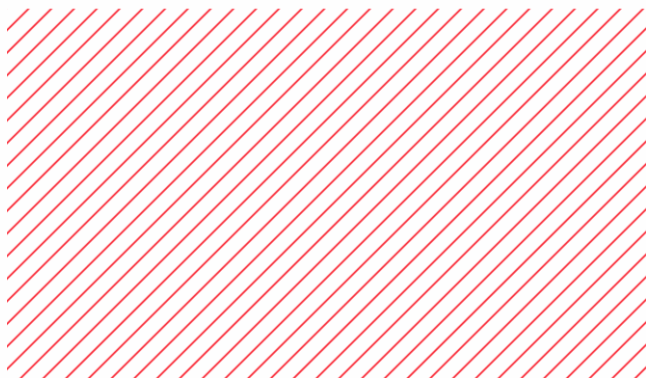
академия
больших
данных



Базовые понятия обработки изображений

Андрей Савченко

Профессор НИУ ВШЭ-Нижний Новгород





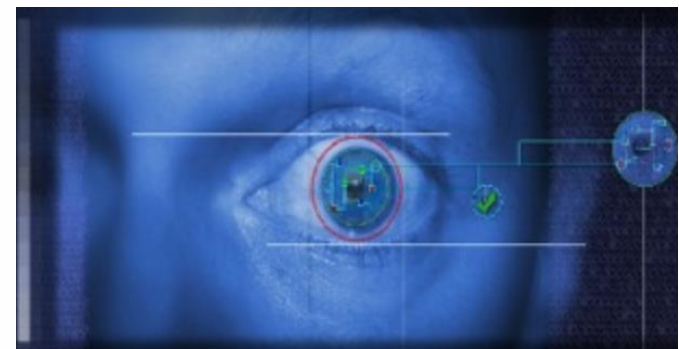
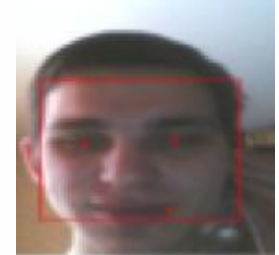
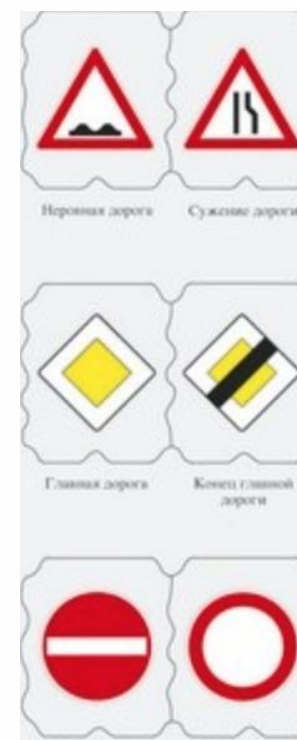
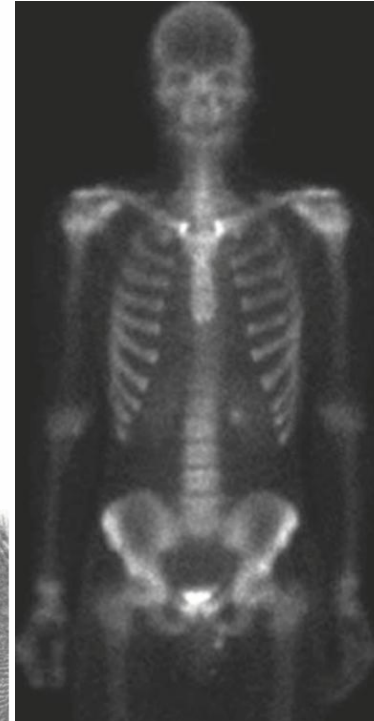
Опрос

<https://forms.gle/jdUkQxAsY4oxquUs7>

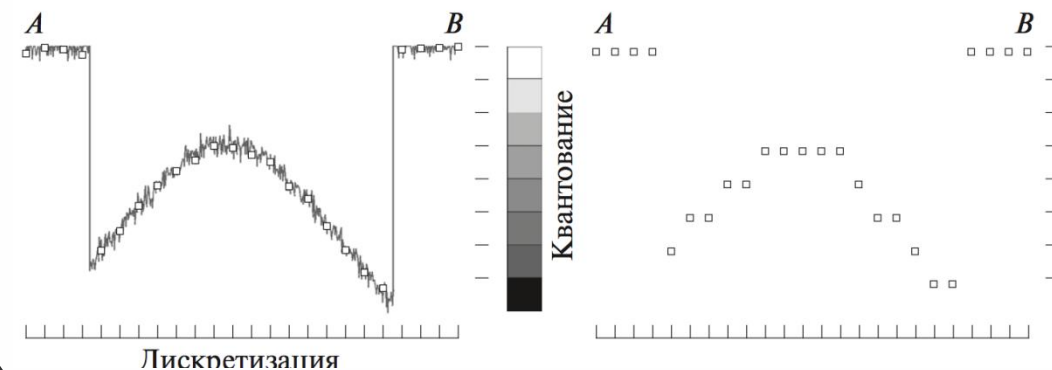
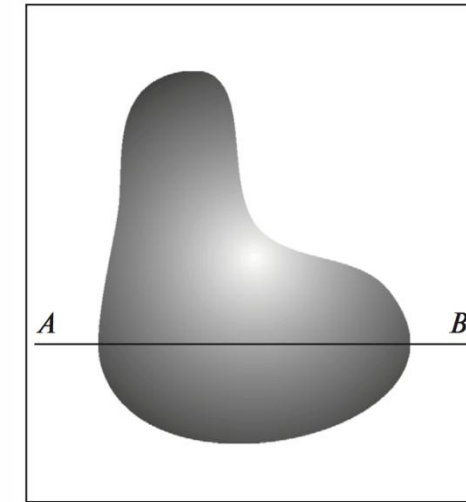
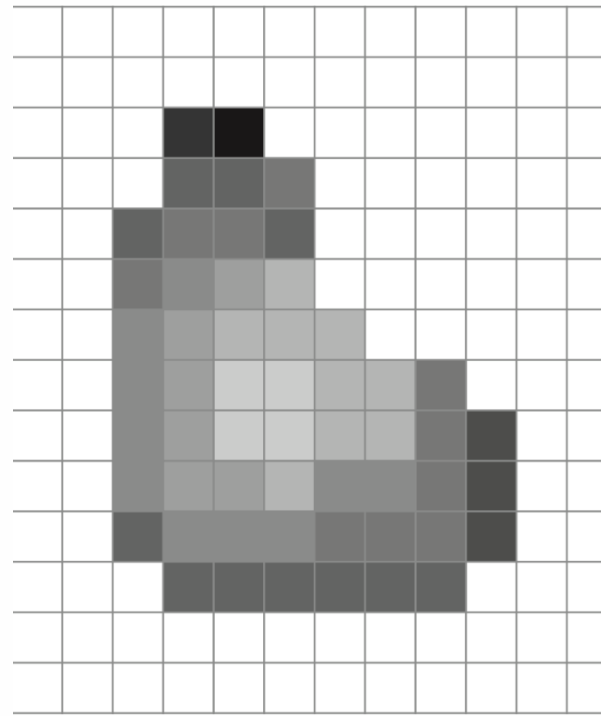
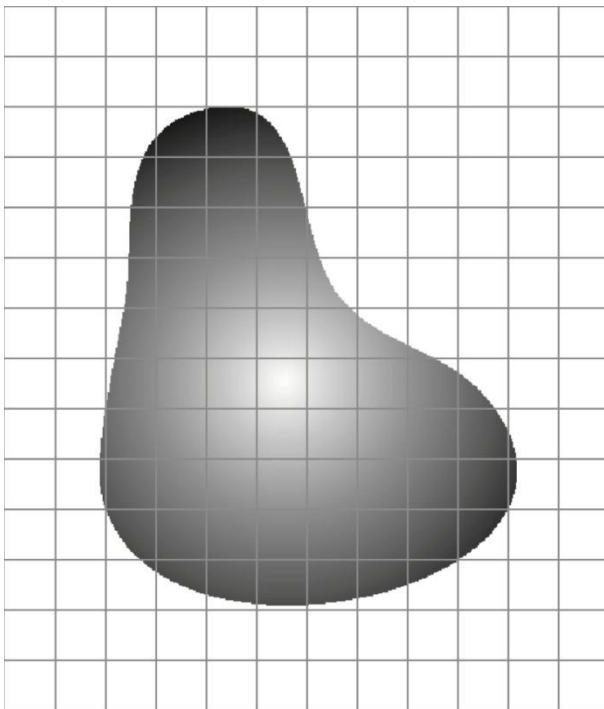
Цифровые изображения

Примеры изображений

Изображение оптическое — картина, получаемая в результате действия оптической системы на лучи, испускаемые объектом, и воспроизводящая контуры и детали объекта.



Представления цифровых изображений. Дискретизация и квантование



Гонсалес, Вудс «Цифровая обработка изображений»

Квантование (число бит на пиксель)



2 levels - binary



4 levels



256 levels – 1 byte

Разрешение



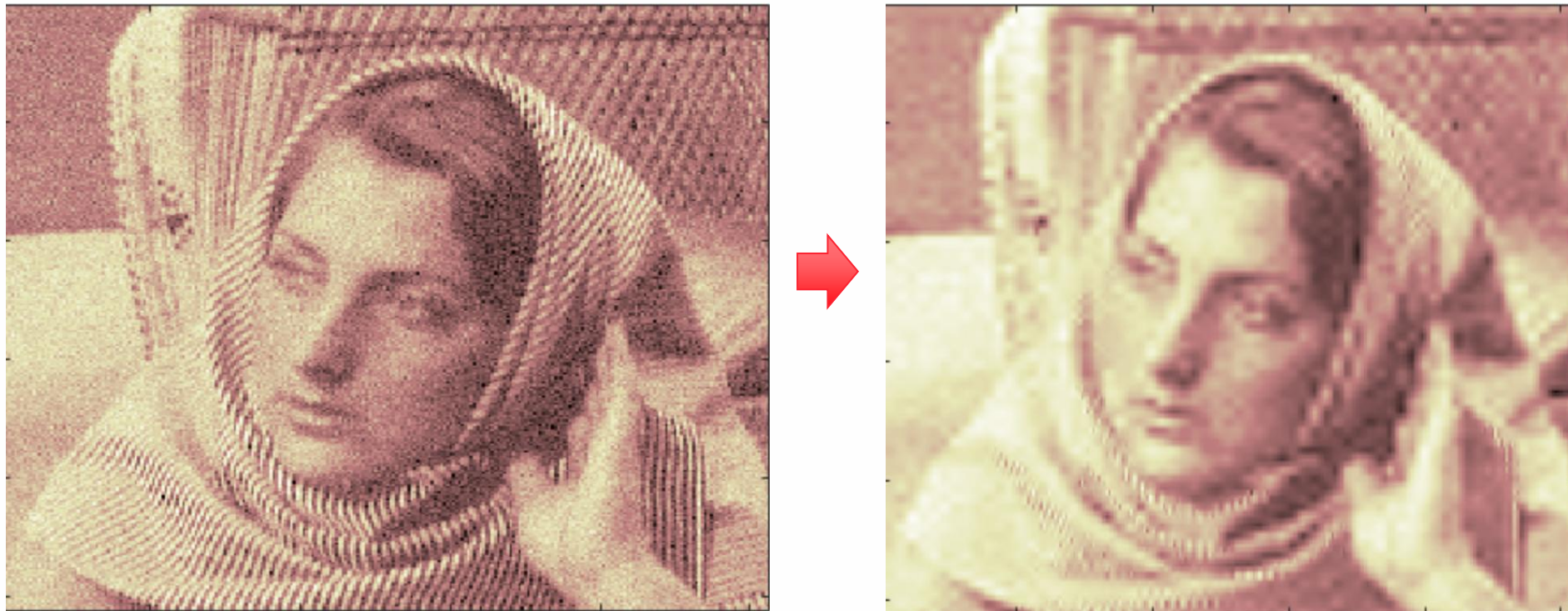
64x64



256x256

Некоторые задачи обработки изображений

Шумоподавление



<https://www.mathworks.com/help/wavelet/examples/denoising-signals-and-images.html>

Ретуширование (inpainting)



Распознавание изображений

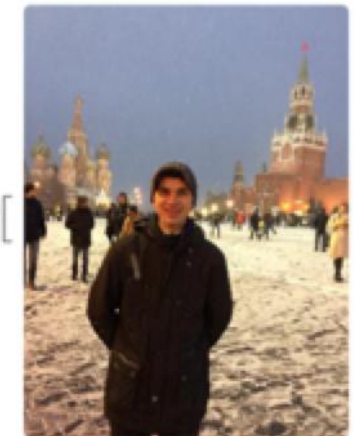


(a) Siberian husky



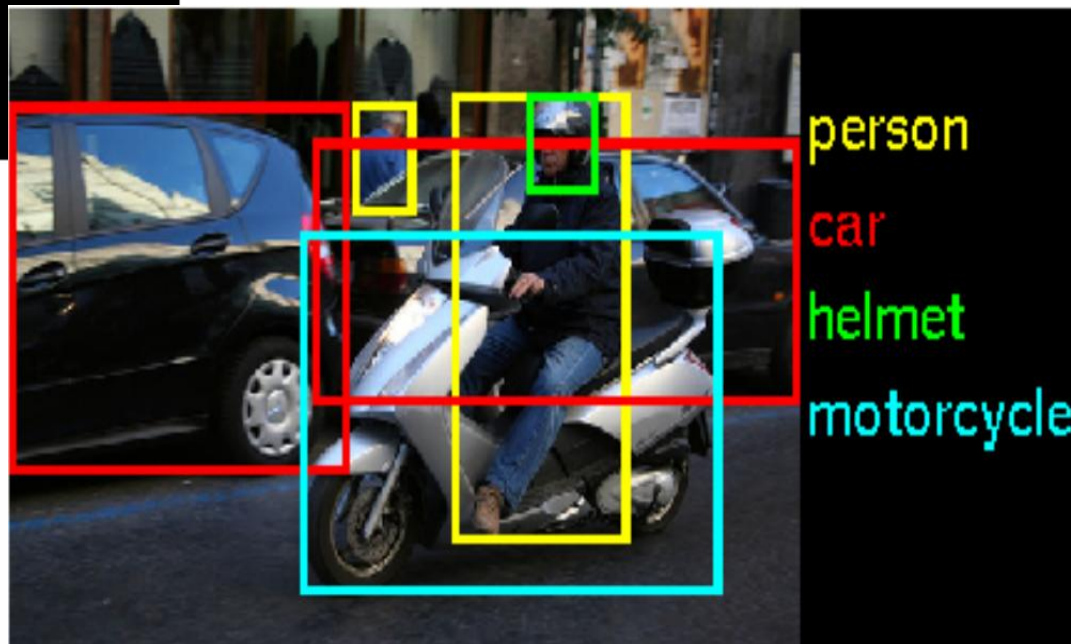
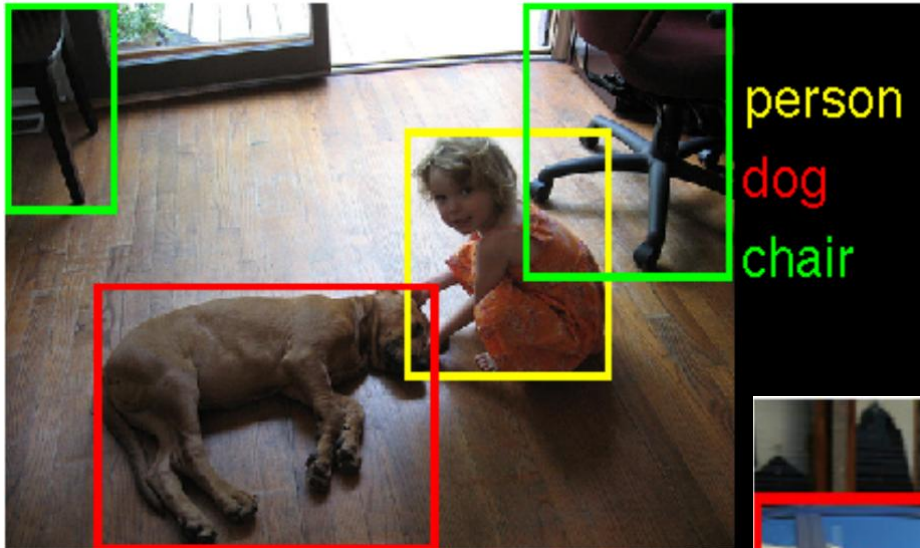
(b) Eskimo dog

Imagelidentify[]

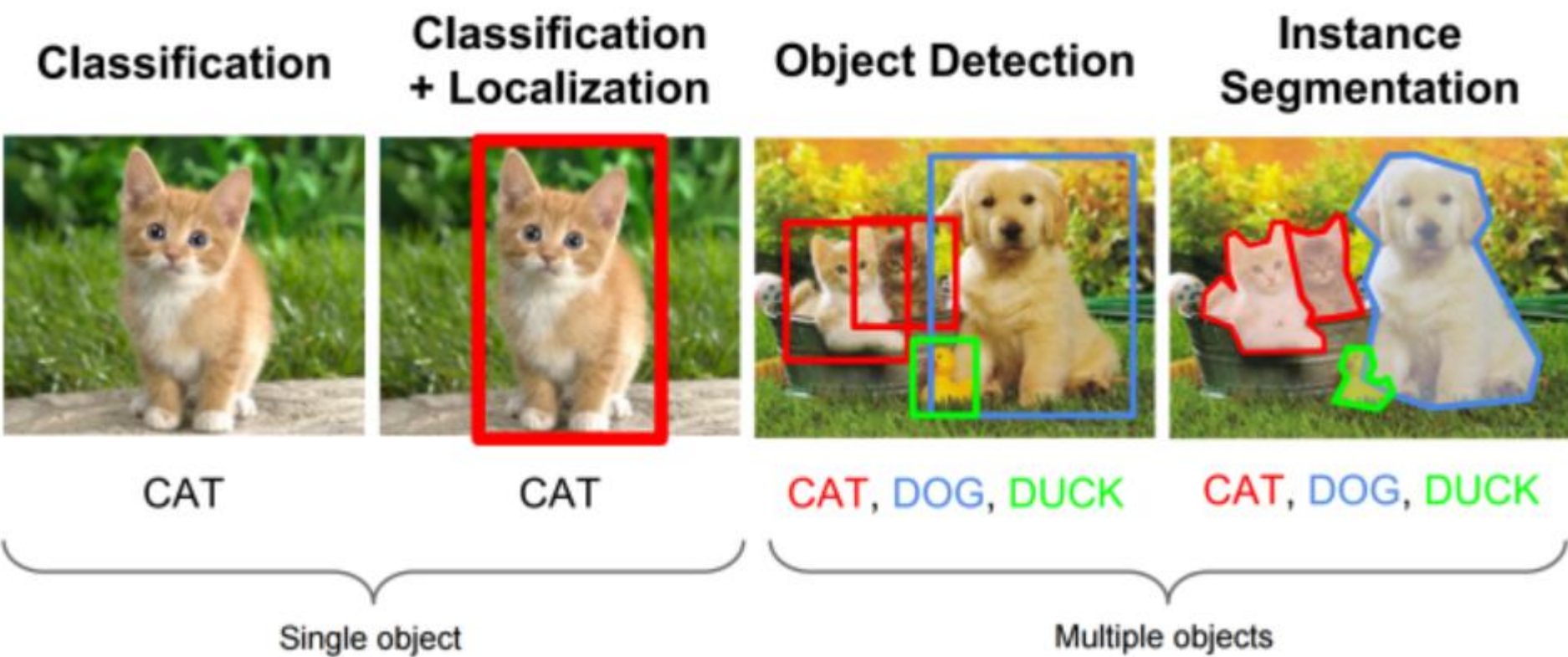


bastion

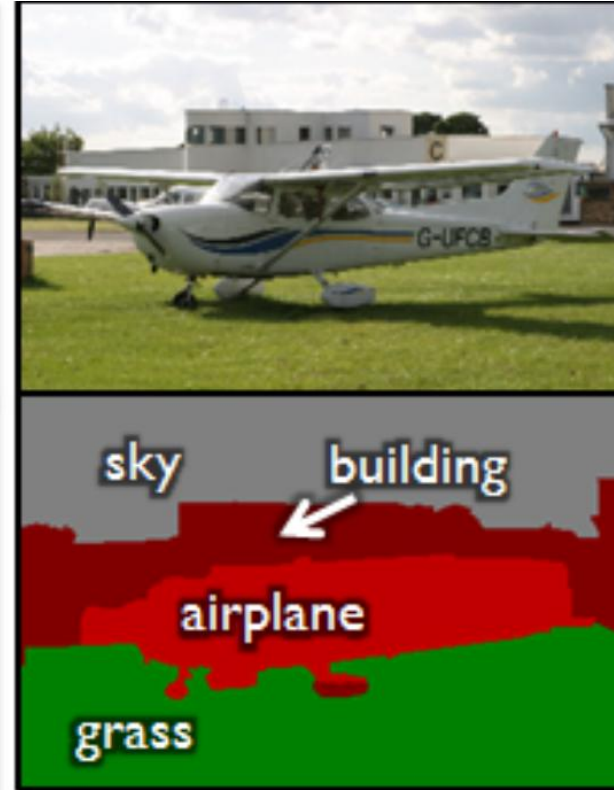
Детектирование объектов на изображениях



Классификация, детектирование, локализация...



Семантическая сегментация



object classes	building	grass	tree	cow	sheep	sky	airplane	water	face	car
bicycle	flower	sign	bird	book	chair	road	cat	dog	body	boat

Текстовое описание изображений

Describes without errors	Describes with minor errors	Somewhat related to the image	Unrelated to the image
 A person riding a motorcycle on a dirt road.	 Two dogs play in the grass.	 A skateboarder does a trick on a ramp.	 A dog is jumping to catch a frisbee.
 A group of young people playing a game of frisbee.	 Two hockey players are fighting over the puck.	 A little girl in a pink hat is blowing bubbles.	 A refrigerator filled with lots of food and drinks.
 A herd of elephants walking across a dry grass field.	 A close up of a cat laying on a couch.	 A red motorcycle parked on the side of the road.	 A yellow school bus parked in a parking lot.

Генерация изображений. Перенос стиля



Другие задачи

Распознавание рисунков



<https://quickdraw.withgoogle.com/>

https://github.com/tensorflow/docs/blob/master/site/en/r1/tutorials/sequences/recurrent_quickdraw.md

MemNet, <https://arxiv.org/abs/1708.02209>

LaMem, <http://memorability.csail.mit.edu/demo.html>

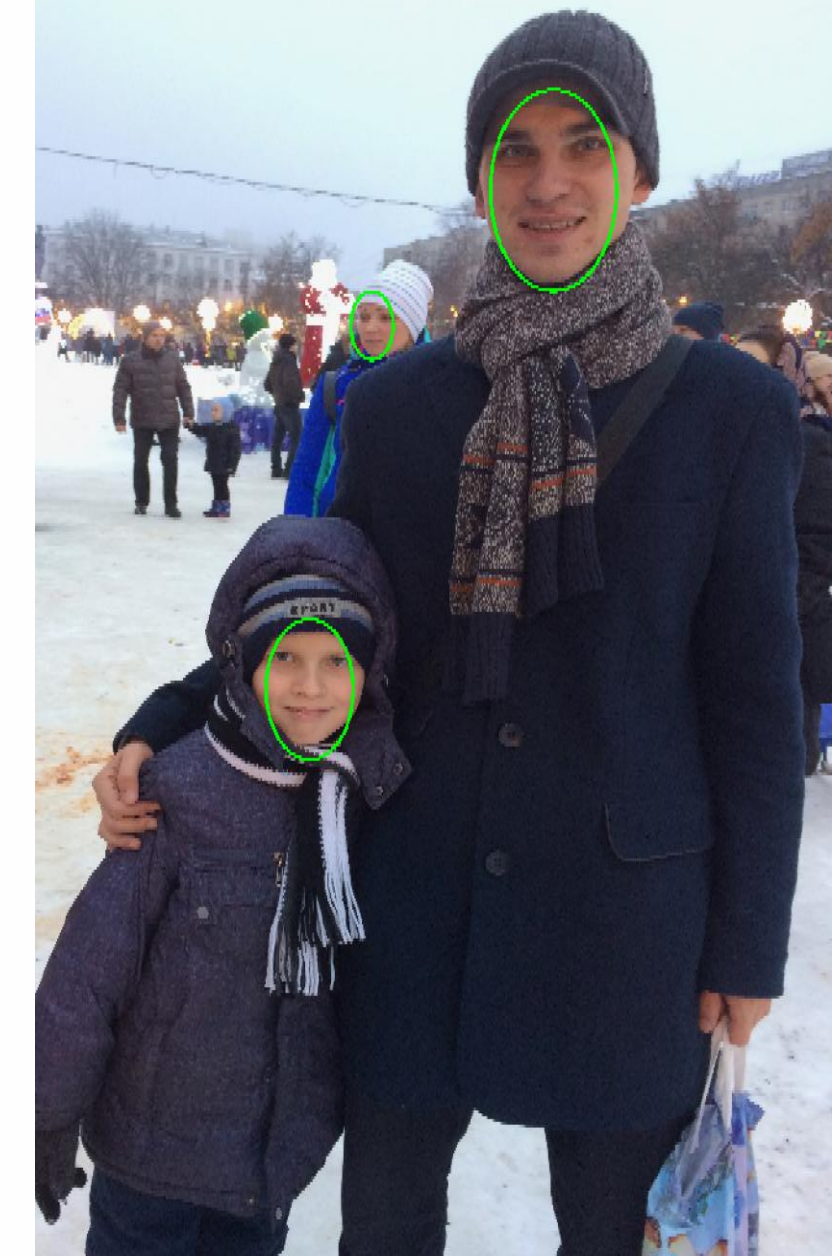
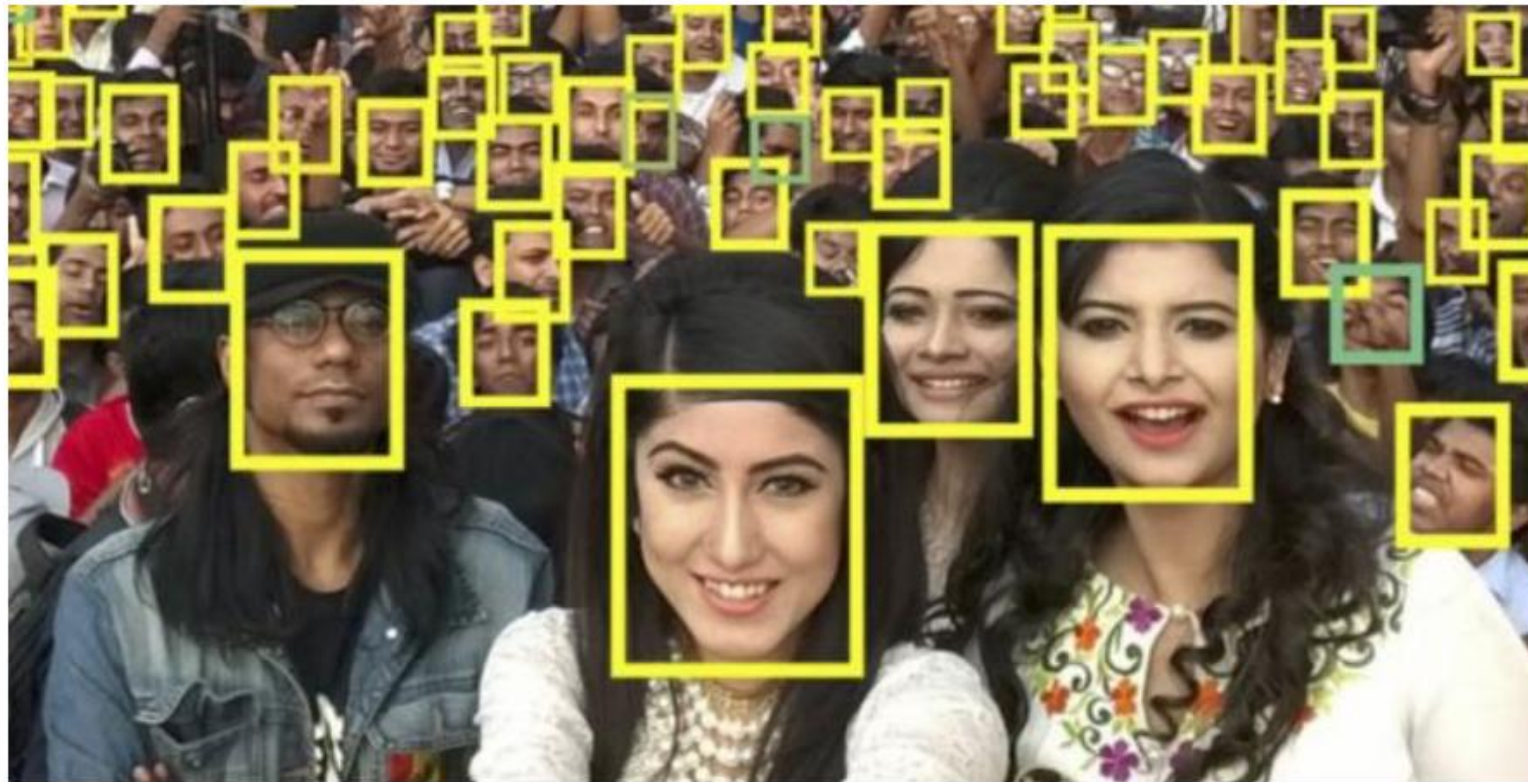
Запоминаемость изображения



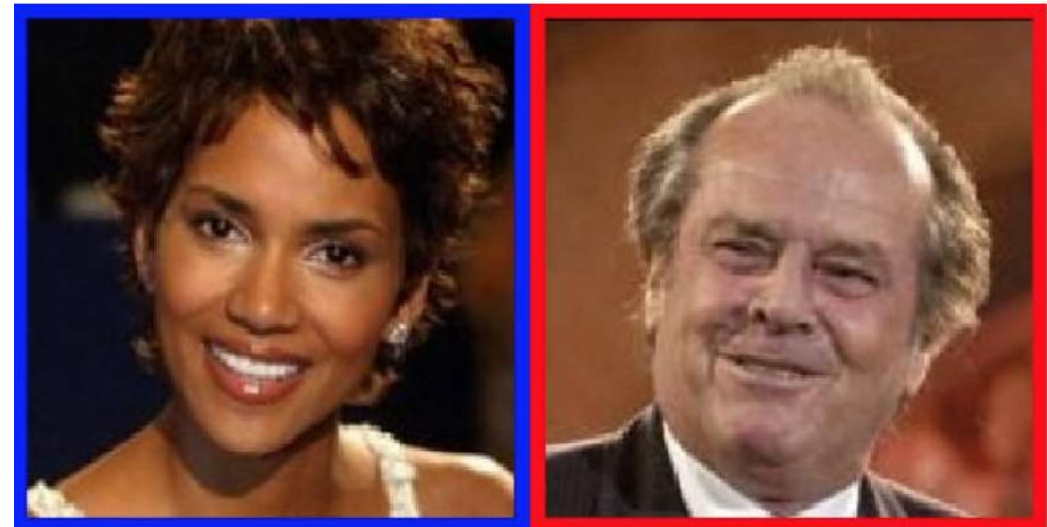
Memorability: High

(score: 0.825 

Обработка изображений лиц (1). Детектирование

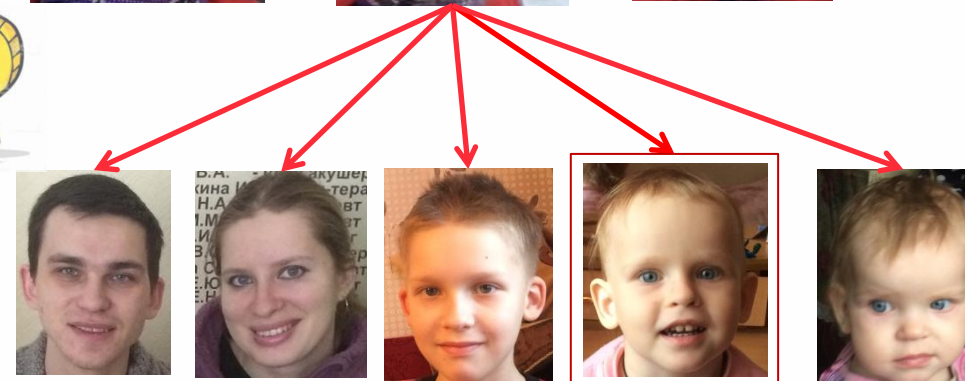


Обработка изображений лиц (2). Верификация



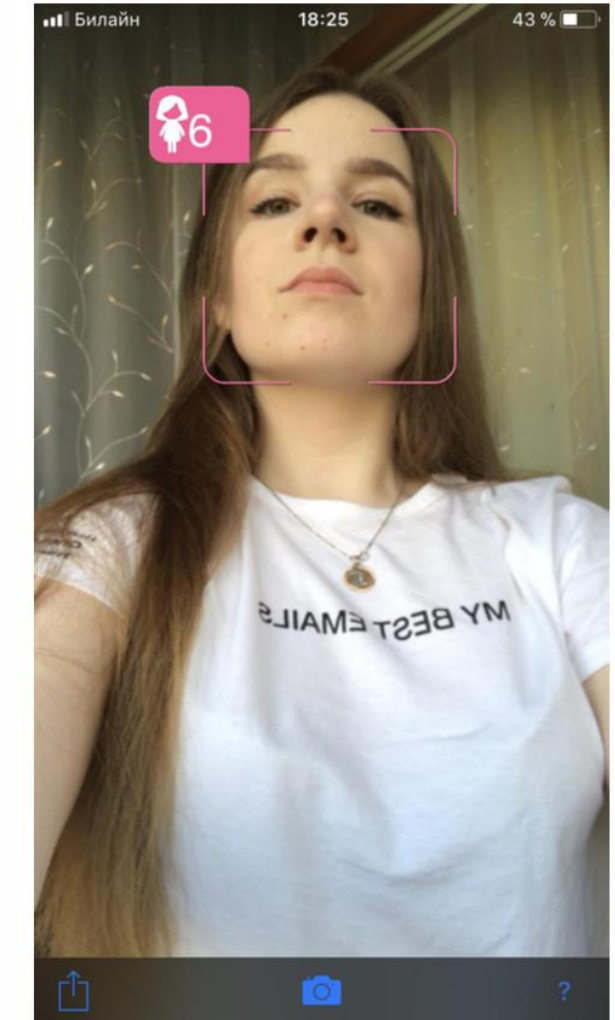
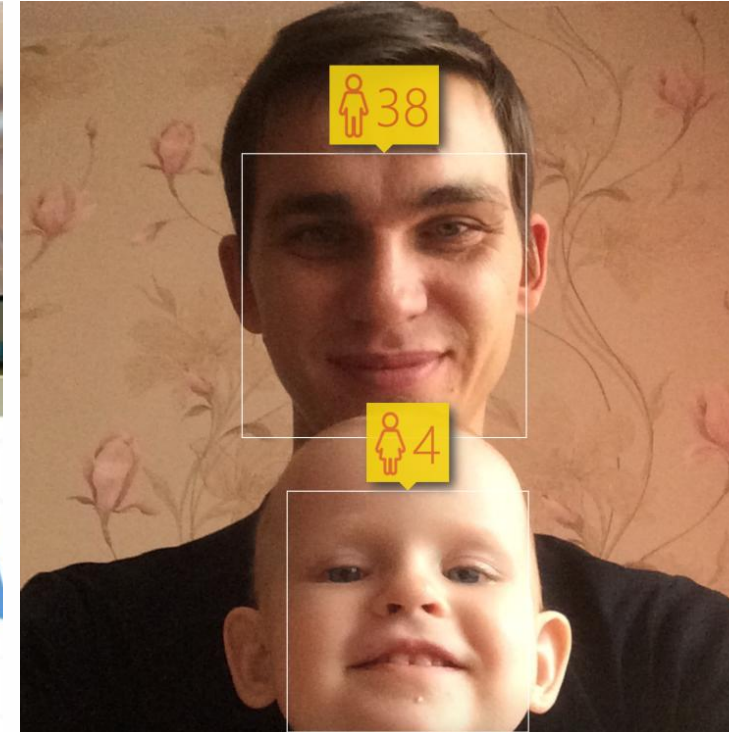
Обработка изображений лиц (3). Идентификация (распознавание)

Входная видео последовательность

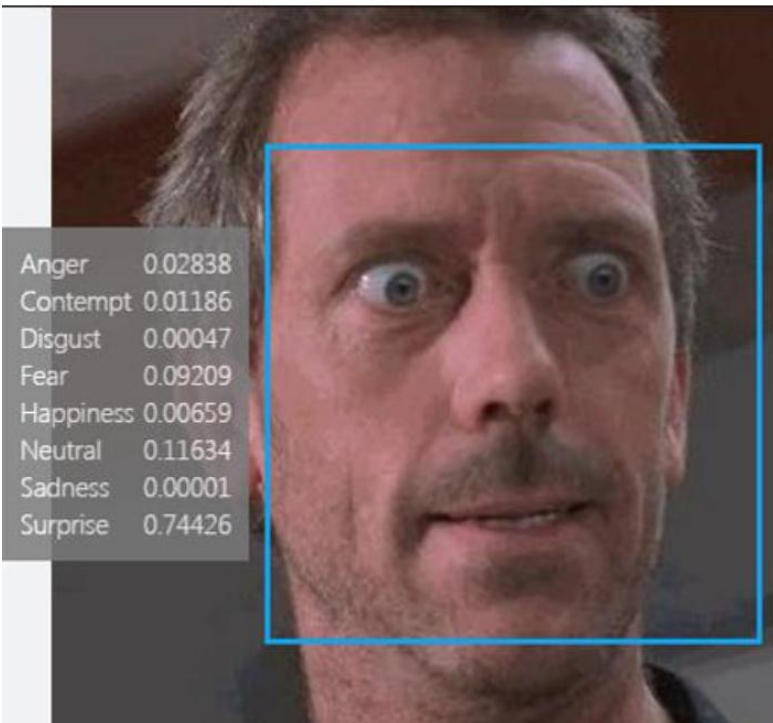


Эталонные
фотографии

Обработка изображений лиц (4). Распознавание пола и возраста



Обработка изображений лиц (5). Распознавание эмоций



“positive”



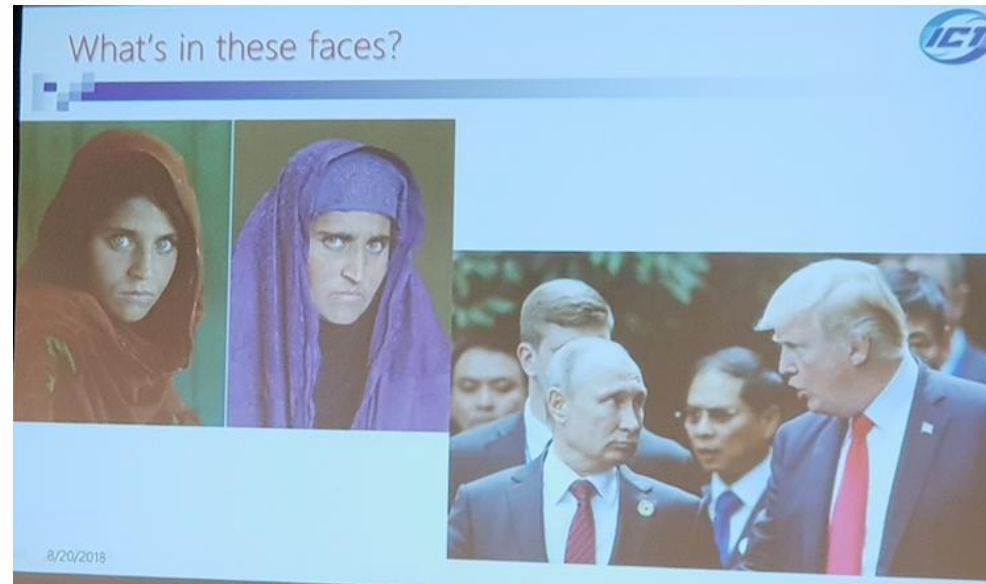
“neutral”



“negative”

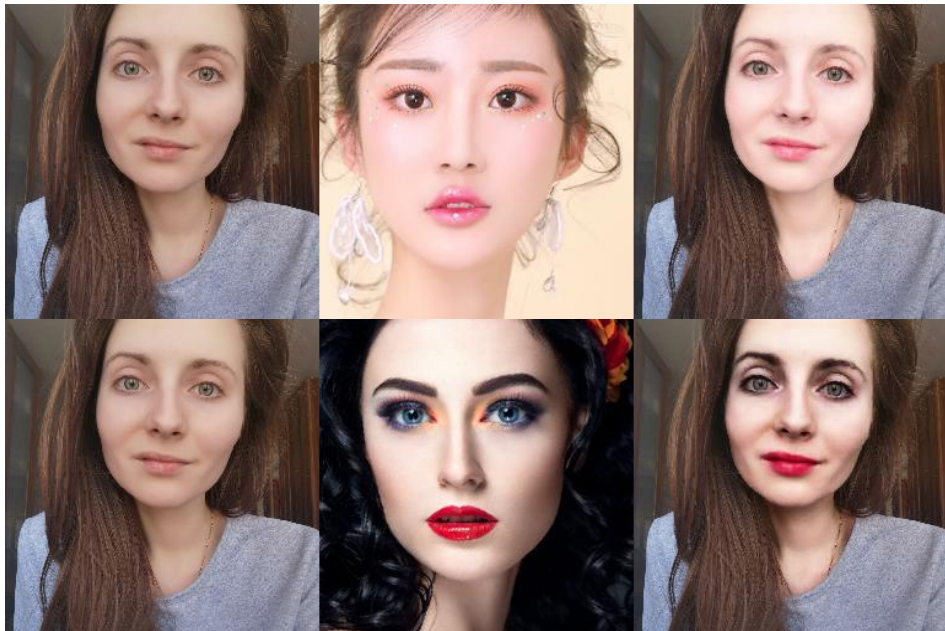


Xilin Chen: Challenges in facial expression understanding, ICPR18



Обработка изображений лиц (6). Генерация

Перенос макияжа

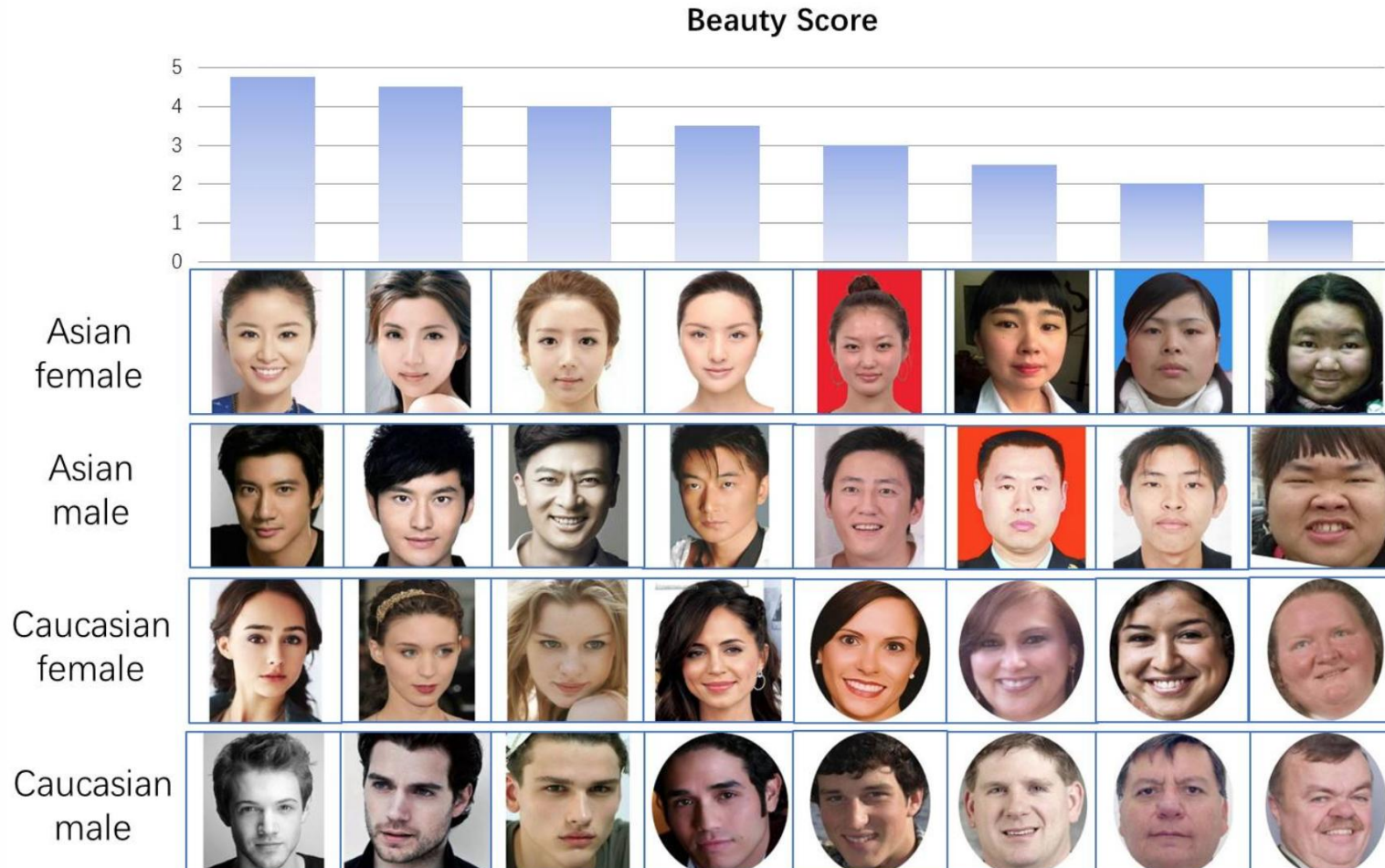


Старение

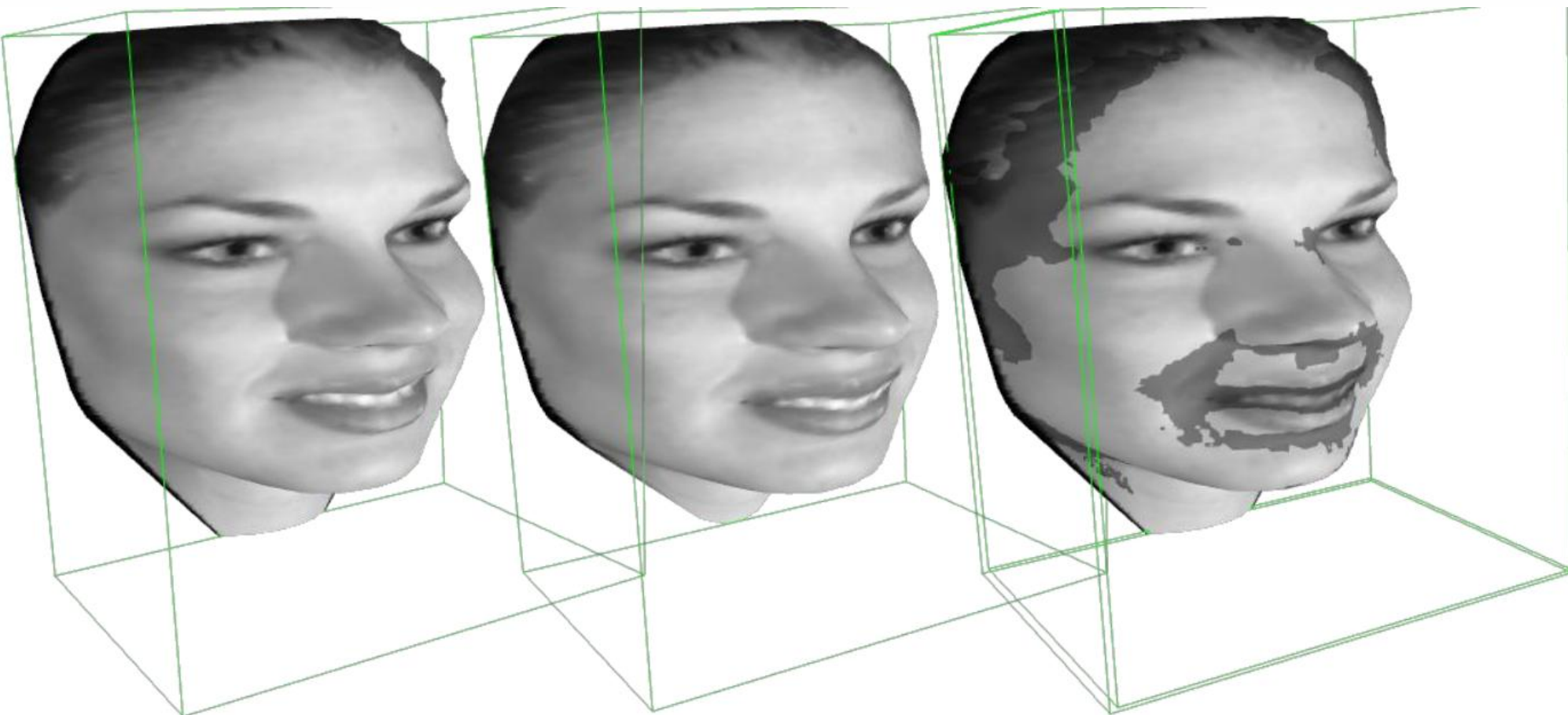


1. PairedCycleGAN: Asymmetric Style Transfer for Applying and Removing Makeup, CVPR18
2. Соколова, 2020

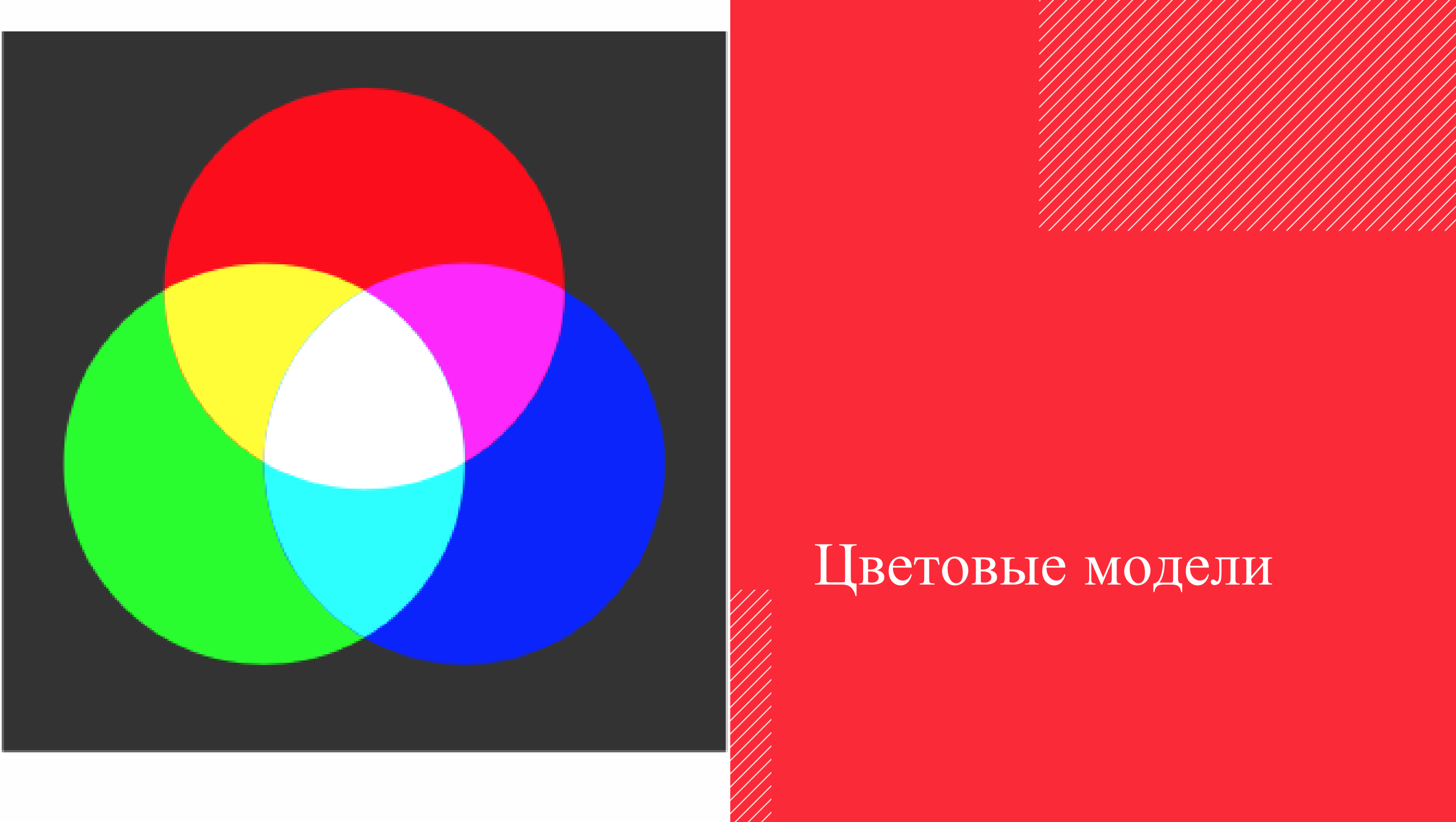
Обработка изображений лиц (7). Оценка степени привлекательности



3D модели



[Рассадин, 2017]



Цветовые модели

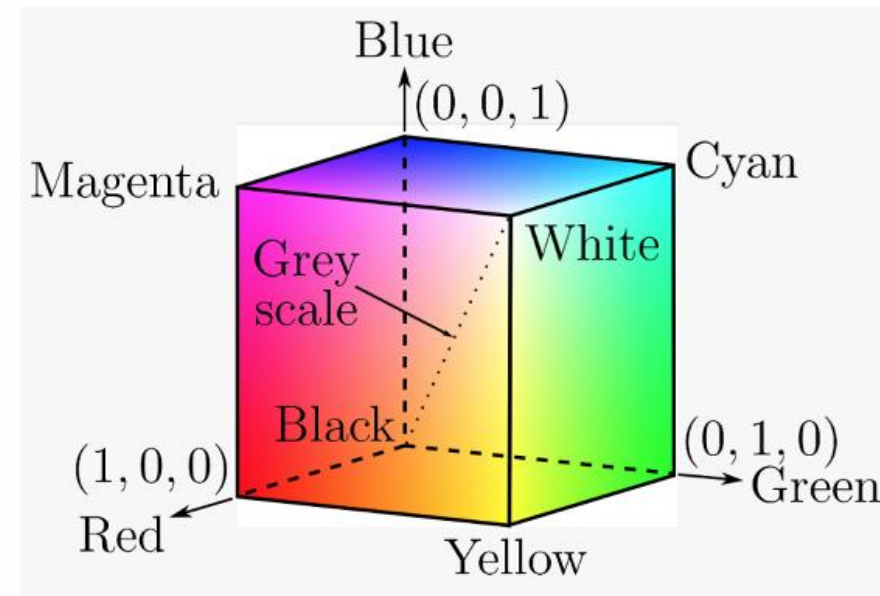
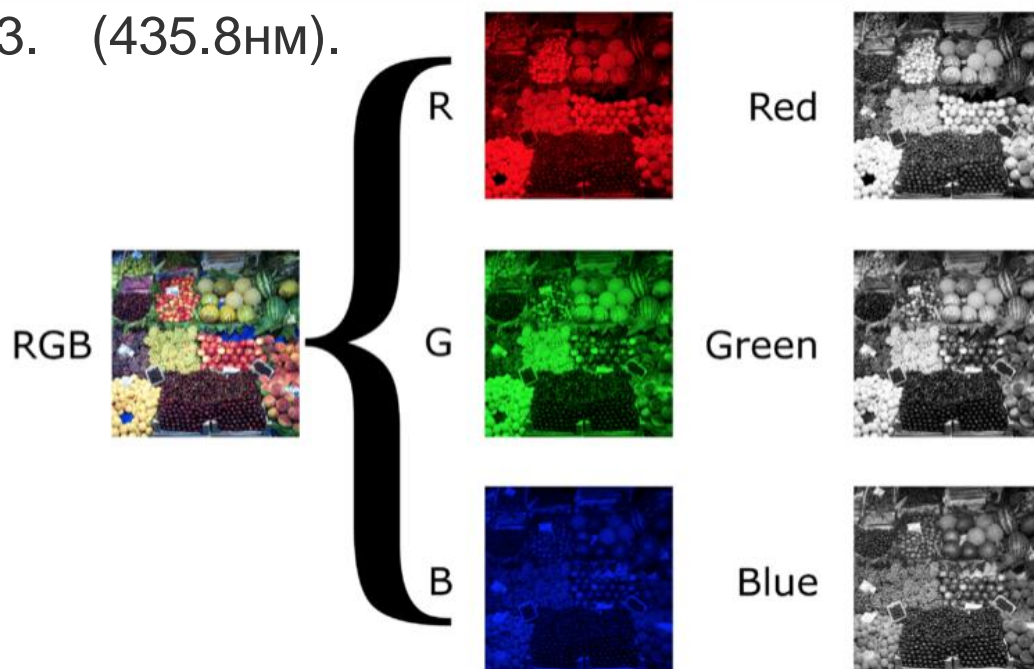
RGB (Red-Green-Blue): аддитивная модель

Трихроматическая теория:

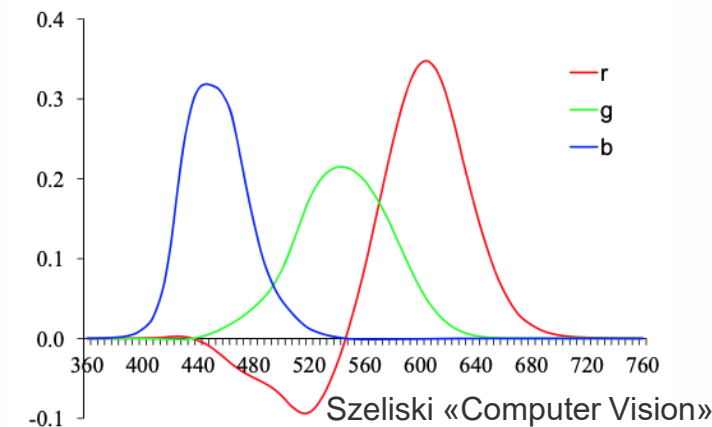
$$\text{Цвет} = \alpha_1 P_1 + \alpha_2 P_2 + \alpha_3 P_3$$

Commission Internationale d'Eclairage (CIE):

1. red (длина волны 700.0нм)
2. green (546.1нм)
3. (435.8нм).



Функция цветового соответствия
(усредненный наблюдатель)

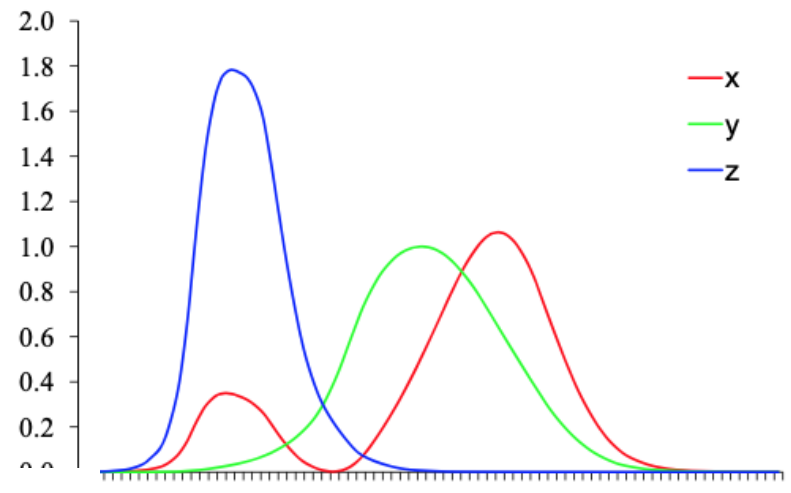


Szeliski «Computer Vision»

XYZ

- 1. Аддитивная модель
- 2. Неотрицательная функция цветового соответствия
- 3. Покрывает весь видимый диапазон

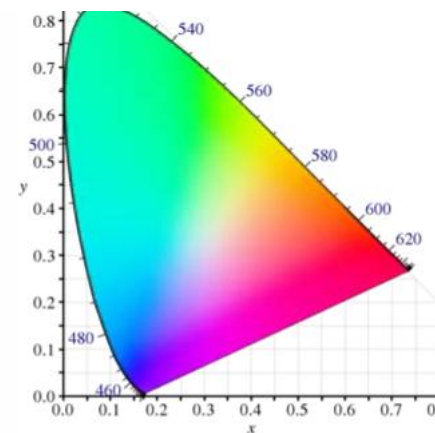
$$\begin{bmatrix} X \\ Y \\ Z \end{bmatrix} = \begin{bmatrix} 0.412453 & 0.357580 & 0.180423 \\ 0.212671 & 0.715160 & 0.072169 \\ 0.019334 & 0.119193 & 0.950227 \end{bmatrix} \begin{bmatrix} R_{709} \\ G_{709} \\ B_{709} \end{bmatrix}$$



Luminance (яркость света)

Вариация - Yxy

$$x = \frac{X}{X + Y + Z}, \quad y = \frac{Y}{X + Y + Z}, \quad z = \frac{Z}{X + Y + Z},$$



CIELAB ($L^*a^*b^*$)

Яркость воспринимается человеком логарифмически

$$L^* = 116f\left(\frac{Y}{Y_n}\right) \quad a^* = 500 \left[f\left(\frac{X}{X_n}\right) - f\left(\frac{Y}{Y_n}\right) \right] \quad b^* = 200 \left[f\left(\frac{Y}{Y_n}\right) - f\left(\frac{Z}{Z_n}\right) \right]$$

Y_n, Z_n – Y и Z компоненты белого цвета

$$f(t) = \begin{cases} t^{1/3} & t > \delta^3 \\ t/(3\delta^2) + 2\delta/3 & \text{else,} \end{cases}$$



(i) L^*

(j) a^*

(k) b^*

YUV/YIQ

$$Y'_{601} = 0.299R' + 0.587G' + 0.114B',$$

$$Y'_{709} = 0.2125R' + 0.7154G' + 0.0721B'.$$

YUV – для стандарта
цветового ТВ PAL в Европе

YIQ – для стандарта
цветового ТВ NTSC в США

$$U = 0.492111(B' - Y')$$

$$V = 0.877283(R' - Y'),$$

поворот на 33 градуса



$$I = 0.596 R - 0.274 G - 0.322 B$$
$$Q = 0.211 R - 0.522 G + 0.311 B$$

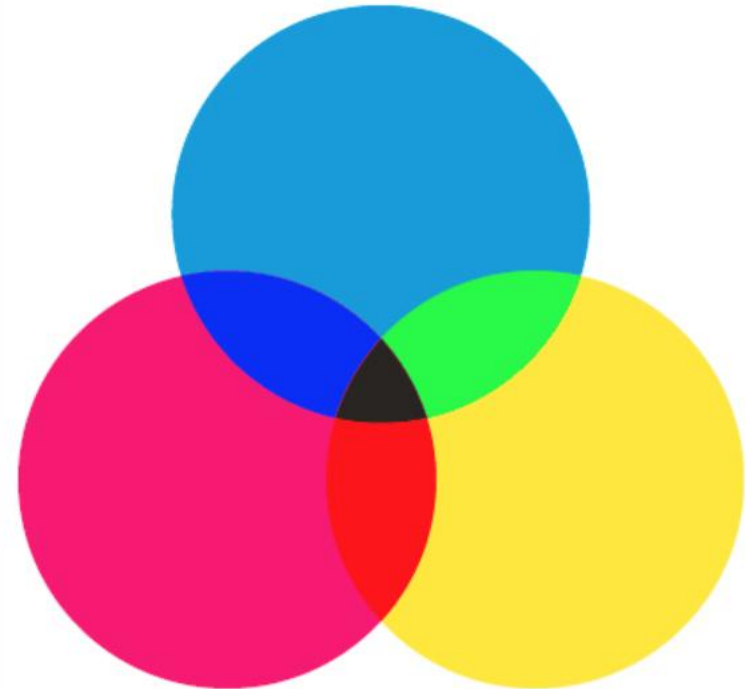
CMY(K): субтрактивная модель

-
1. $C=W(\text{hite})-R$
 2. $M=W-G$
 3. $Y=W-B$

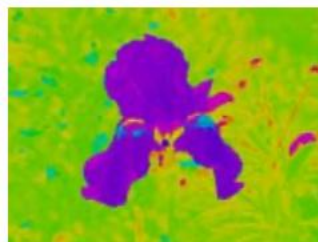
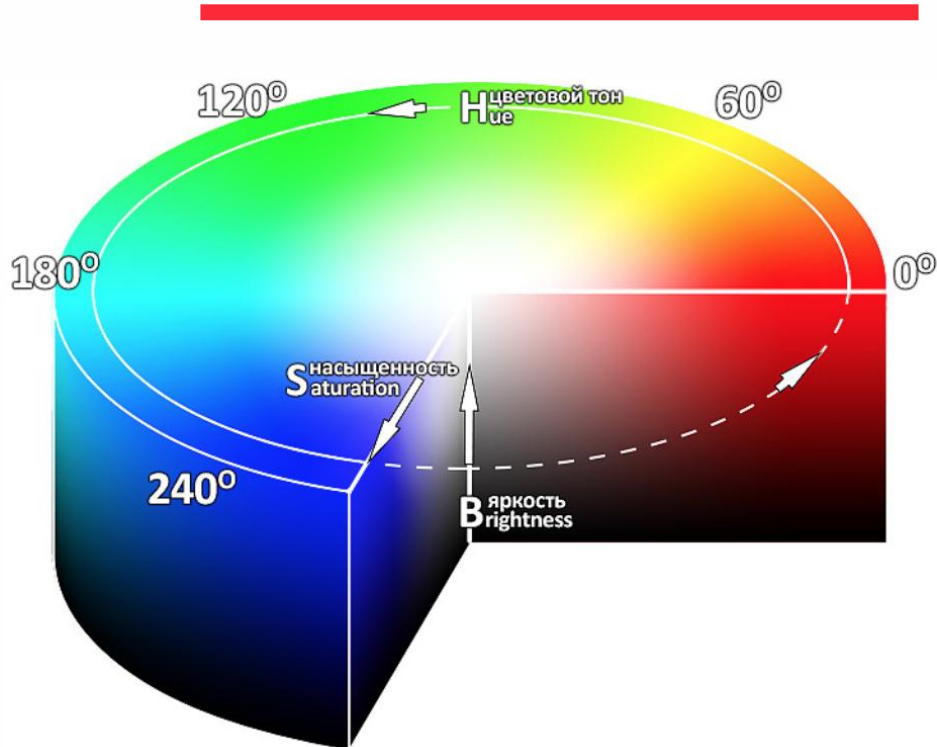
В теории при смешении трёх цветов должен получиться чёрный цвет. В реальности из-за примесей в красках получается грязно-коричневый.



Вводится чёрный цвет (K) для получения тёмных оттенков и непосредственно самого чёрного.



HSV (HSB): Hue-saturation-value(brightness)



(l) H



(m) S



(n) V
Szeliski «Computer Vision»

$$V \leftarrow \max(R, G, B)$$
$$S \leftarrow \begin{cases} \frac{V - \min(R, G, B)}{V} & \text{if } V \neq 0 \\ 0 & \text{otherwise} \end{cases}$$

$$H \leftarrow \begin{cases} 60(G - B)/(V - \min(R, G, B)) & \text{if } V = R \\ 120 + 60(B - R)/(V - \min(R, G, B)) & \text{if } V = G \\ 240 + 60(R - G)/(V - \min(R, G, B)) & \text{if } V = B \end{cases}$$

Поточечные операции

OpenCV

- Open Source Computer Vision Library
- BSD license
- C++, C, Python, Java
- Windows, Linux, Mac OS, iOS and Android
- Официальные релизы: <https://opencv.org/releases/>
- Nightly build (+contrib modules):
https://pullrequest.opencv.org/buildbot/export/opencv_releases/master-contrib_pack-contrib-android/
- Вручную:
 1. Clone opencv/opencv-contrib
 2. Создать папку (build_android) внутри репозитория opencv и запустить компиляцию

```
python ..\platforms\android\build_sdk.py --sdk_path=D:/Android-Sdk --extra_modules_path=D:\src_code\opencv\opencv_contrib\modules --no_samples_build
```



Intel 169,22
Компания

9 ноября 2016 в 14:52

Itseez, дважды Intel Company

Программирование*, Обработка изображений*, Блог компании Intel



Поточечные (попиксельные) операции

$$i_n = \text{function}(i)$$

↑
new intensity

↑
original intensity

Преобразование формата. Полутоновые изображения



OpenCV: cvtColor(), RGB2GRAY
(CCIR601)

$$Y' = 0.299R' + 0.587G' + 0.114B'$$

Нормировка

Приведение всех пикселей к нулевому среднему и единичной дисперсии

$$\mu = \frac{\sum_{i=1}^I \sum_{j=1}^J p_{ij}}{IJ}$$
$$\sigma^2 = \frac{\sum_{i=1}^I \sum_{j=1}^J (p_{ij} - \mu)^2}{IJ}$$



$$x_{ij} = \frac{p_{ij} - \mu}{\sigma}.$$



OpenCV: `normalize()`

`normType=NORM_INF, NORM_L1,
or NORM_L2`

$\|\text{dst}\|_{L_p} = \text{alpha}$

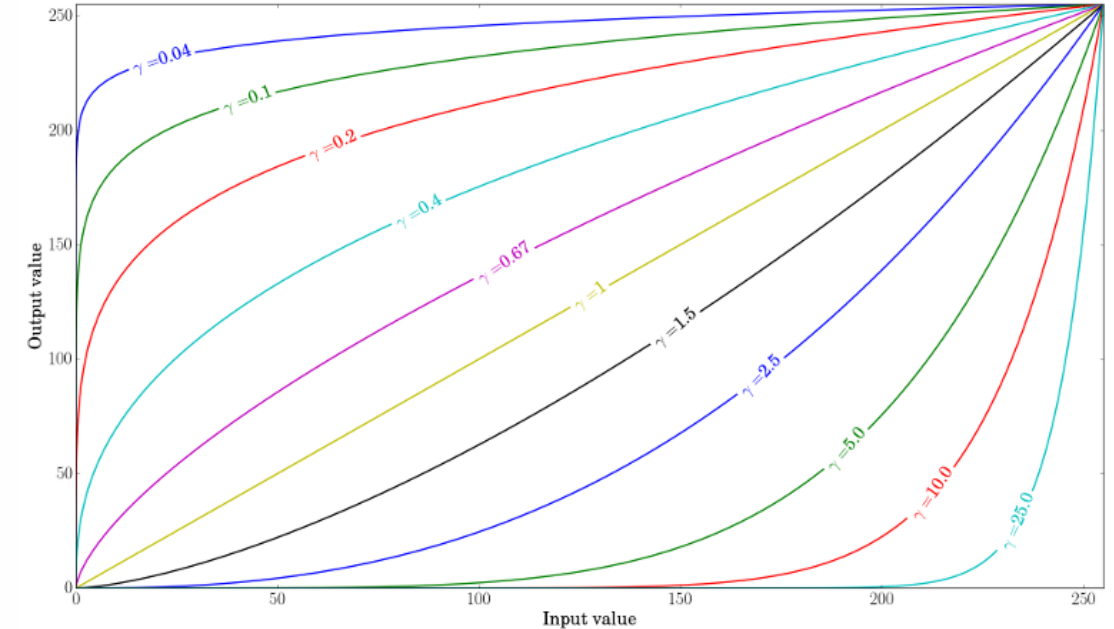
`normType=NORM_MINMAX`

$\min_I \text{dst}(I) = \text{alpha}, \max_I \text{dst}(I) = \text{beta}$

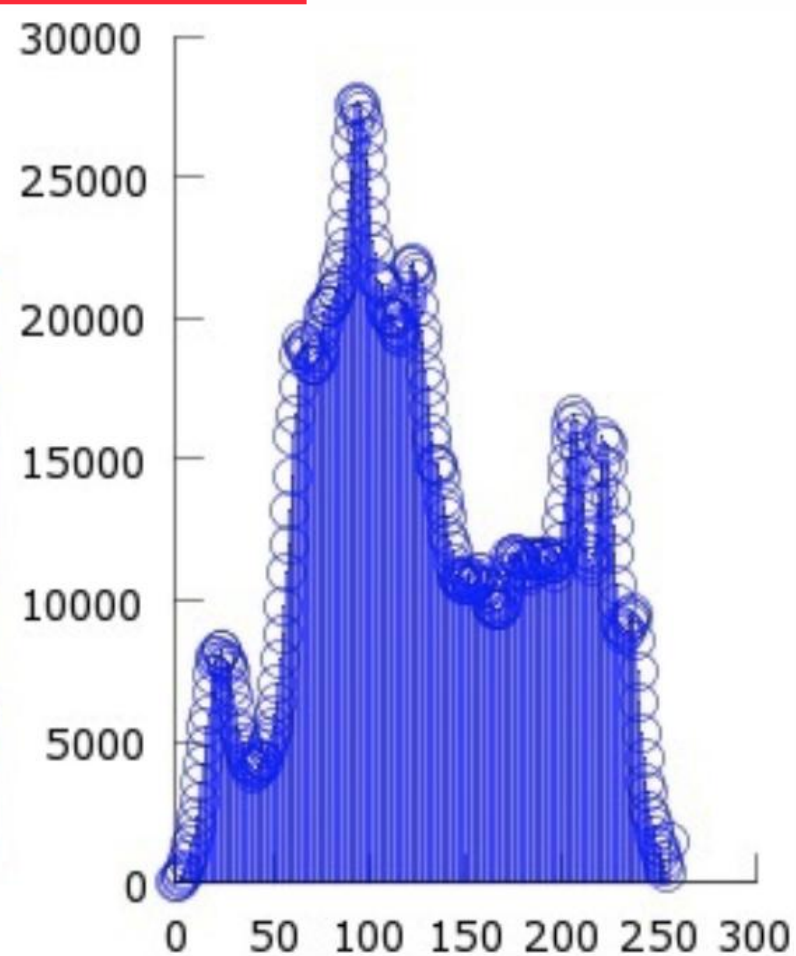
Гамма-коррекция

В ранних ЧБ ТВ сигнал нелинейно зависел от входного напряжения

$$O = \left(\frac{I}{255} \right)^\gamma \times 255$$



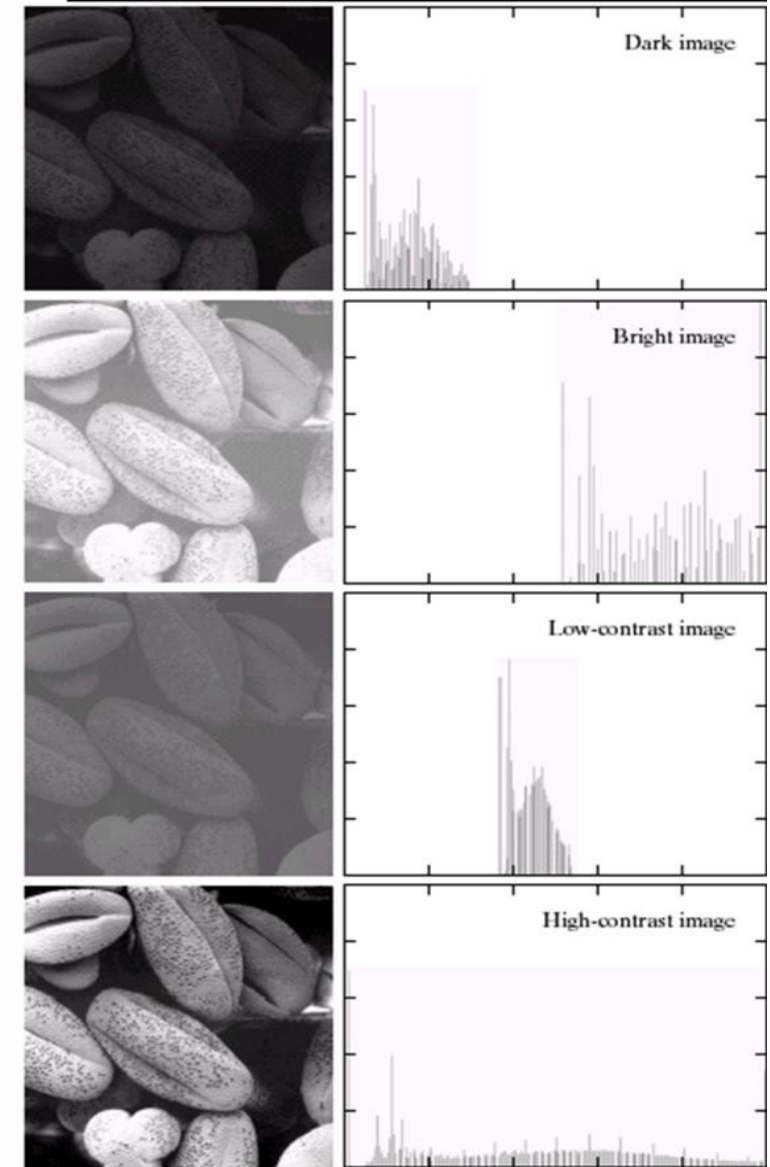
Гистограмма полуточнового изображения



Muhammad «OpenCV Android Programming By Example»

<http://www.robots.ox.ac.uk/~az/lectures/ia/lect1.pdf>

OpenCV: calcHist()



Выравнивание (эквализация) гистограммы

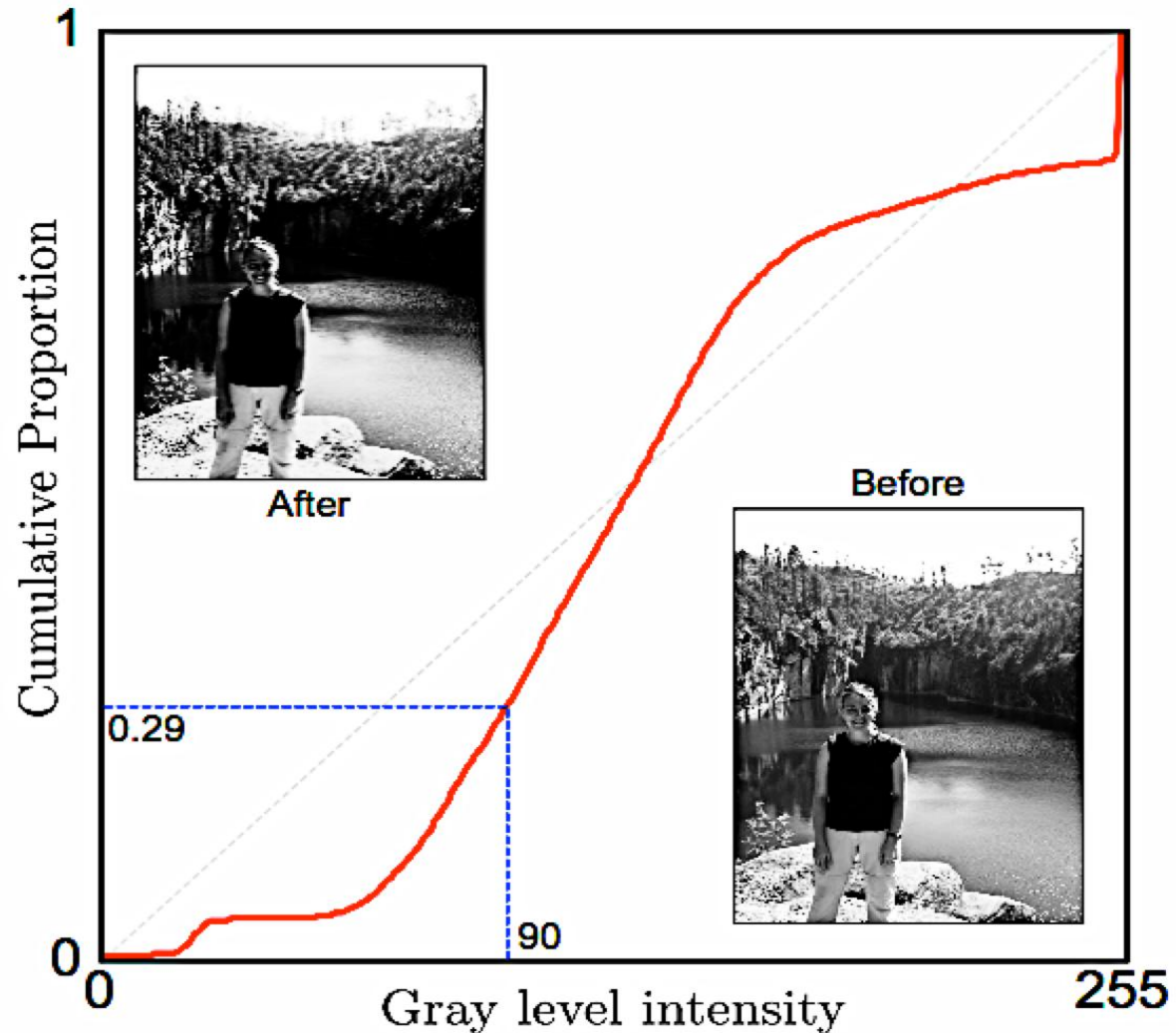
$$h_k = \sum_{i=1}^I \sum_{j=1}^J \delta[p_{ij} - k]$$

$$c_k = \frac{\sum_{l=1}^k h_l}{IJ}$$

$$x_{ij} = K c_{p_{ij}}$$

K – максимальное значение интенсивности (обычно 256)

OpenCV: `equalizeHist()`



Фильтрация изображений

Локальные (spatial/neighborhood) преобразования

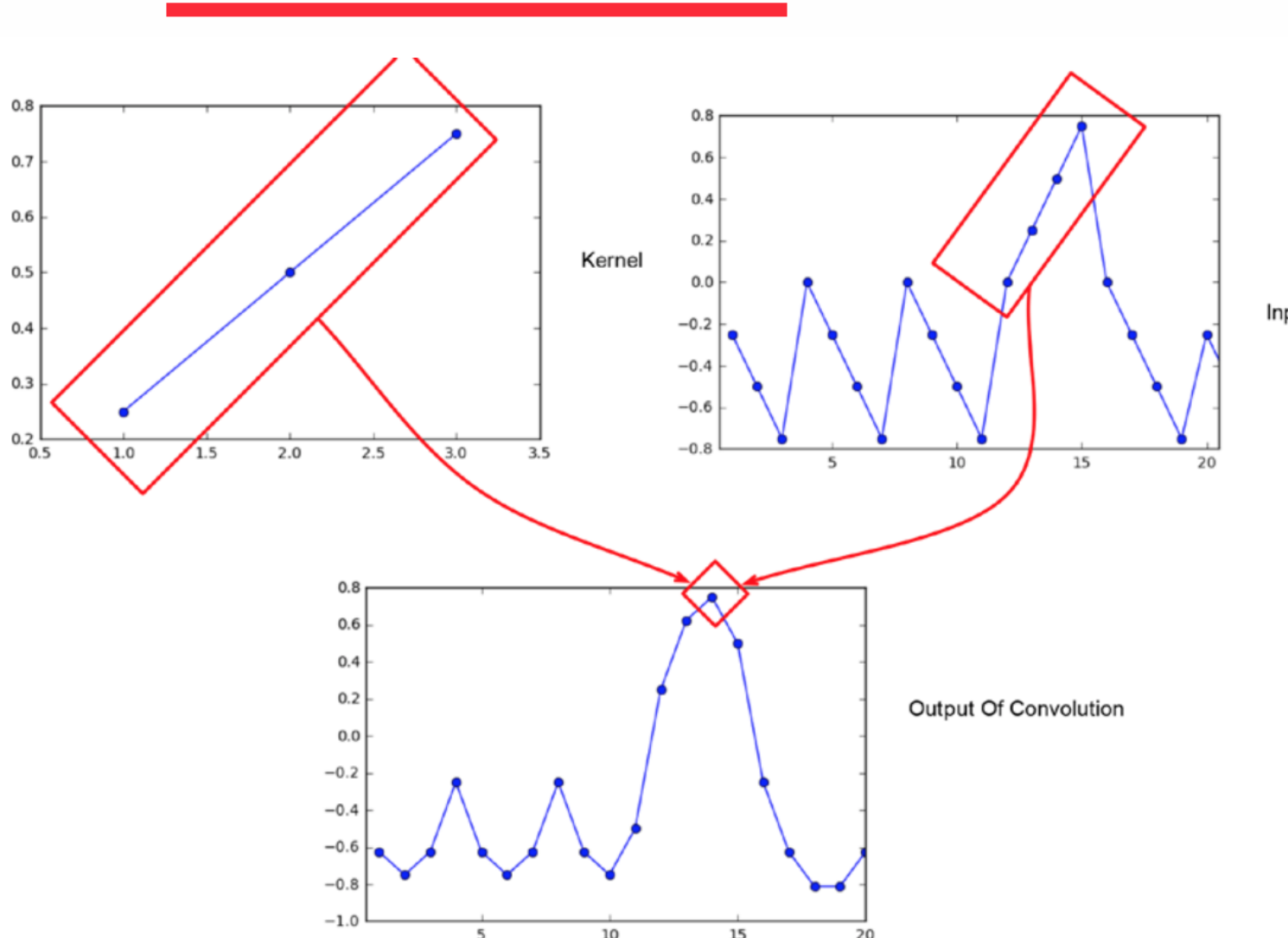
$i_n(x, y) = \text{function}(i \in \text{spatial neighbourhood}(x, y))$

↑
new
intensity

45	60	98	127	132	133	137	133
46	65	98	123	126	128	131	133
47	65	96	115	119	123	135	137
47	63	91	107	113	122	138	134
50	59	80	97	110	123	133	134
49	53	68	83	97	113	128	133
50	50	58	70	84	102	116	126
50	50	52	58	69	86	101	120

↑
original
intensity

Линейная фильтрация (1). Одномерный сигнал



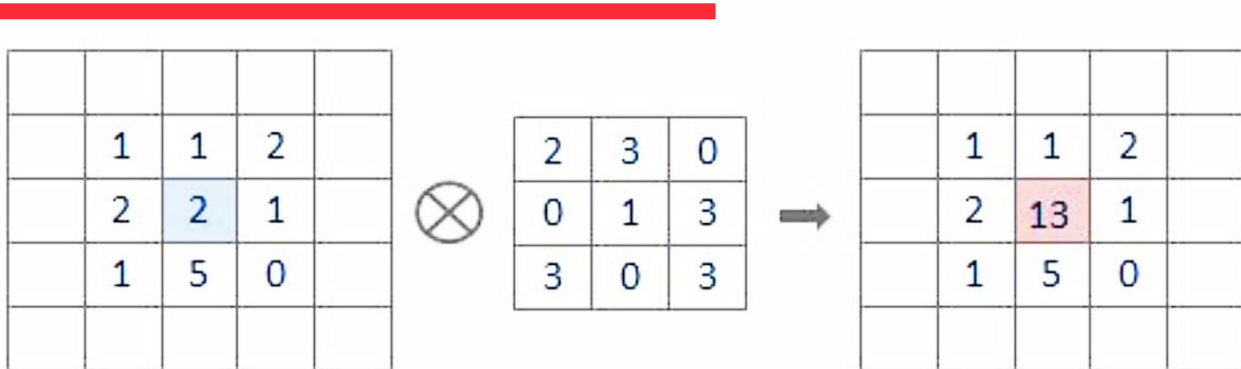
Свертка
(convolution)

$$s(t) = \sum_a I(t-a) \cdot K(a)$$

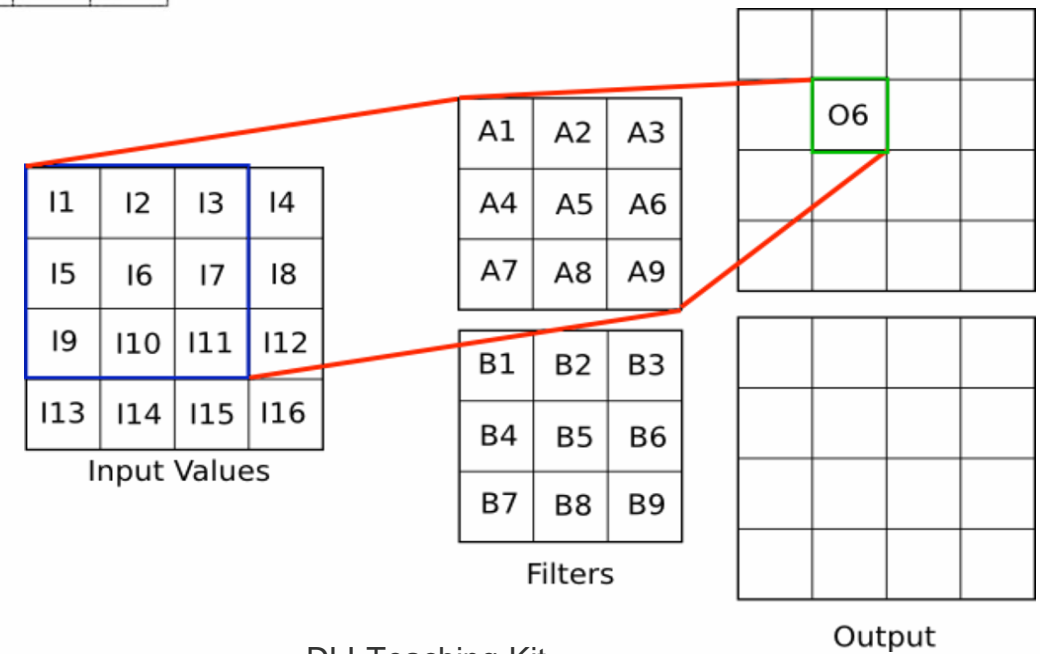
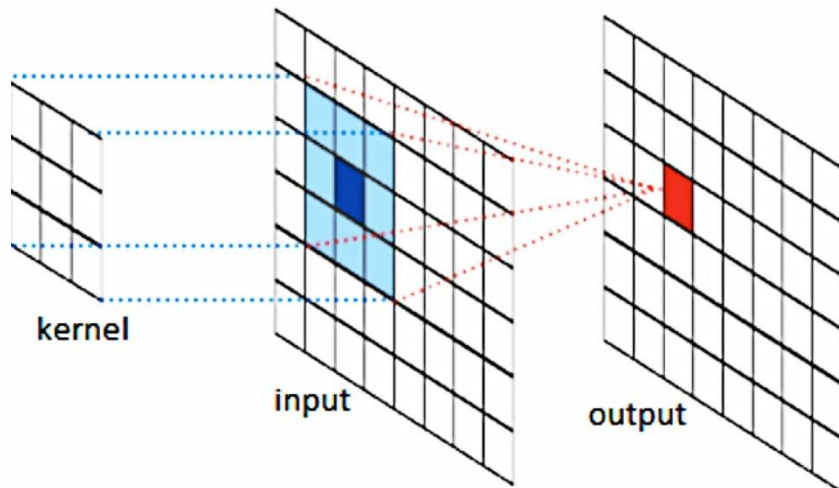
Кросс-корреляция

$$s(t) = \sum_a I(t+a) \cdot K(a)$$

Линейная фильтрация (2). Изображения



$$x_{ij} = \sum_{m=-M}^M \sum_{n=-N}^N p_{i-m, j-n} f_{m,n}$$



OpenCV: filter2D()

DLI-Teaching-Kit

<http://intellabslabs.github.io/RiverTrail/tutorial/>

Сглаживание (smoothing)

$\frac{1}{9}$

1	1	1
1	1	1
1	1	1

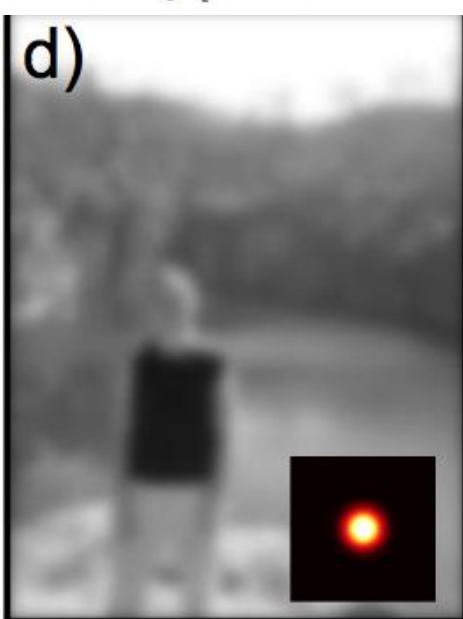
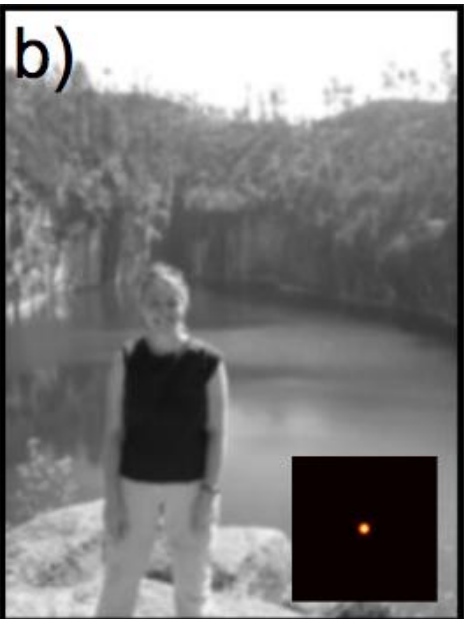
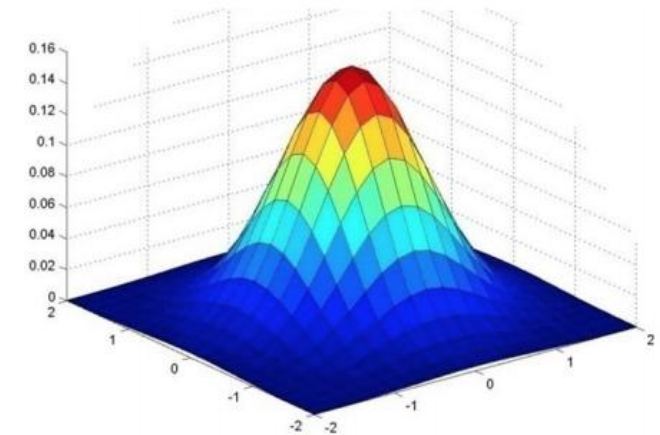


OpenCV: `boxFilter()`

<https://www.mathworks.com/help/images/ref/imboxfilt.html>

Гауссовский фильтр (smoothing, blurring)

$$f(m, n) = \frac{1}{2\pi\sigma^2} \exp \left[-\frac{m^2 + n^2}{2\sigma^2} \right]$$



OpenCV:
GaussianBlur()

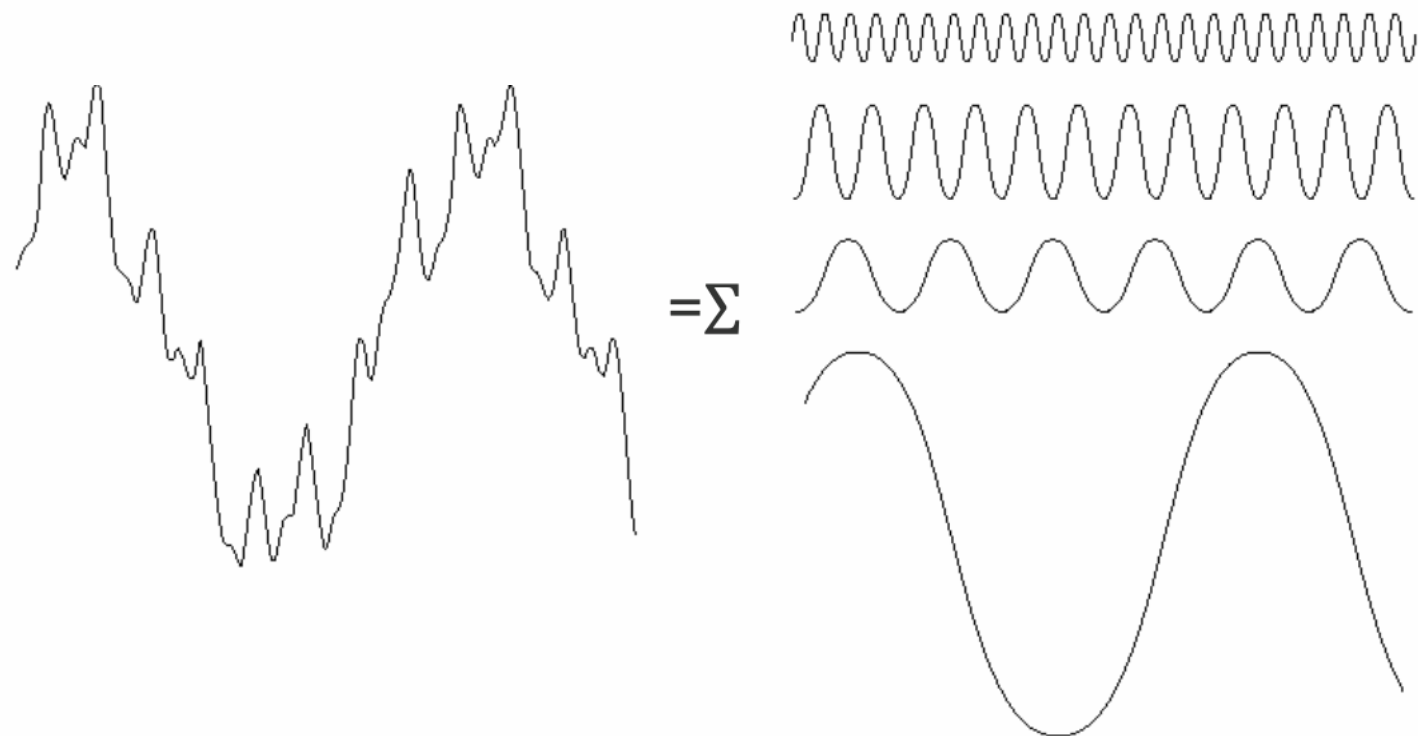
Prince «Computer vision: models, learning and inference»

Дискретное преобразование Фурье

Ряд Фурье



Сигнал можно представить как взвешенную сумму синусов и косинусов



Преобразование Фурье

Удобнее работать с комплексным сигналом:

$$r e^{j\alpha} = r(\cos \alpha + j \sin \alpha)$$

Интеграл (непрерывное преобразование) Фурье

$$F(\omega) = \int f(t) e^{-j\omega t} dt$$

analysis

$$f(t) = \frac{1}{2\pi} \int F(\omega) e^{j\omega t} d\omega$$

synthesis

Дискретное преобразование Фурье (ДПФ)

$$F[k] = \frac{1}{N} \sum_{n=0}^{N-1} f[n] e^{-j2\pi kn/T}$$

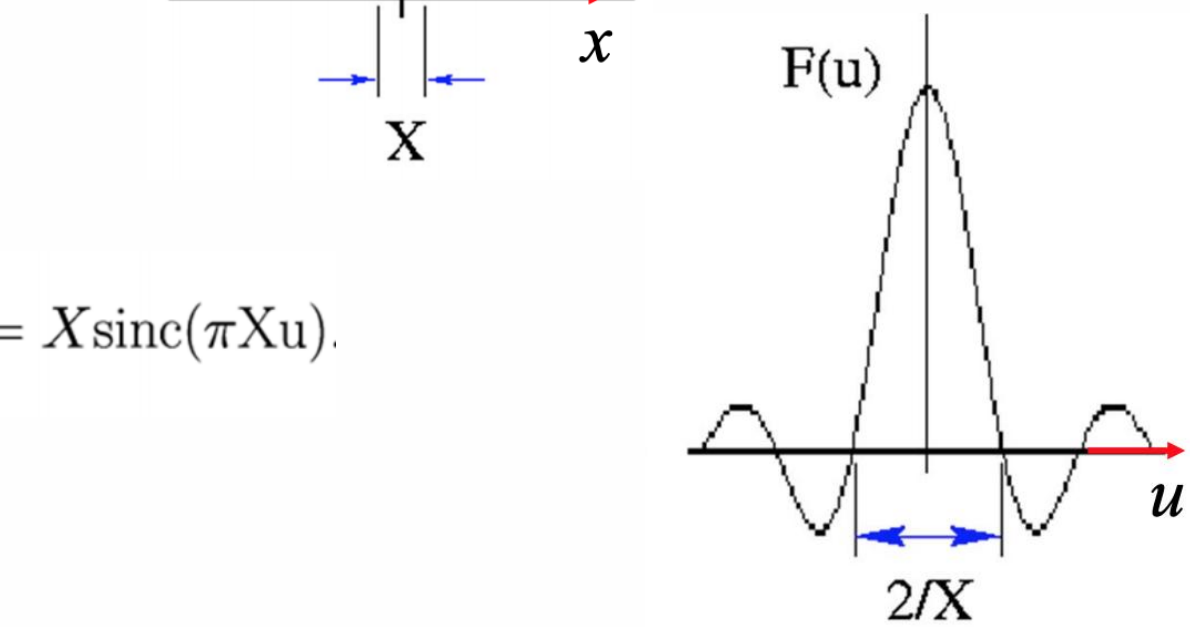
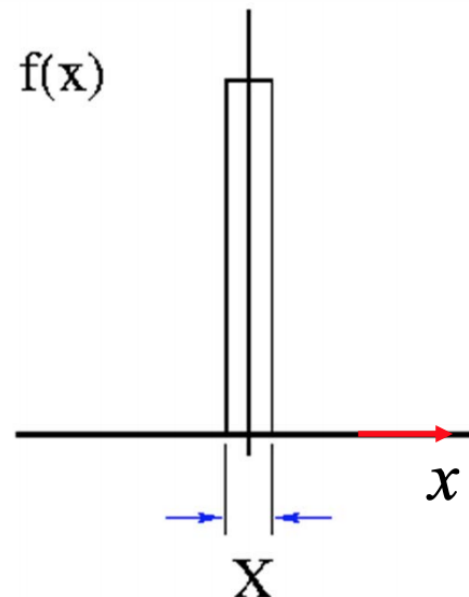
$$f[n] = \sum_{k=0}^{N-1} F[k] e^{j2\pi kn/T}$$

Пространственная частота $\omega=2\pi u$

Пример

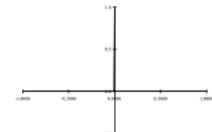
$$f(x) = \begin{cases} 1, & |x| < \frac{X}{2}, \\ 0, & |x| \geq \frac{X}{2}. \end{cases}$$

$$\begin{aligned} F(u) &= \int_{-\infty}^{\infty} f(x) e^{-j2\pi ux} dx = \int_{-X/2}^{X/2} e^{-j2\pi ux} dx \\ &= \frac{1}{-j2\pi u} [e^{-j2\pi u X/2} - e^{j2\pi u X/2}] = X \frac{\sin(\pi X u)}{(\pi X u)} = X \text{sinc}(\pi X u). \end{aligned}$$



Известные Фурье-пары

impulse

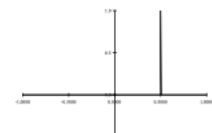


$$\delta(x)$$

\Leftrightarrow

$$1$$

shifted
impulse

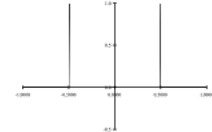


$$\delta(x - u)$$

\Leftrightarrow

$$e^{-j\omega u}$$

box filter

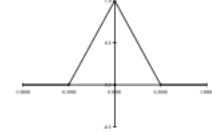


$$\text{box}(x/a)$$

\Leftrightarrow

$$a \text{sinc}(a\omega)$$

tent

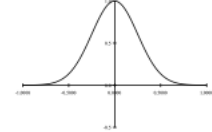


$$\text{tent}(x/a)$$

\Leftrightarrow

$$a \text{sinc}^2(a\omega)$$

Gaussian

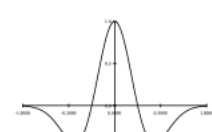


$$G(x; \sigma)$$

\Leftrightarrow

$$\frac{\sqrt{2\pi}}{\sigma} G(\omega; \sigma^{-1})$$

Laplacian
of Gaussian



$$\left(\frac{x^2}{\sigma^4} - \frac{1}{\sigma^2}\right)G(x; \sigma)$$

\Leftrightarrow

$$-\frac{\sqrt{2\pi}}{\sigma} \omega^2 G(\omega; \sigma^{-1})$$

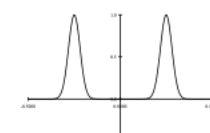
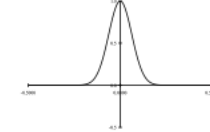
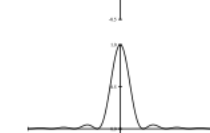
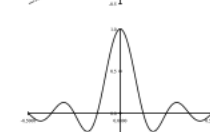
Gabor



$$\cos(\omega_0 x)G(x; \sigma)$$

\Leftrightarrow

$$\frac{\sqrt{2\pi}}{\sigma} G(\omega \pm \omega_0; \sigma^{-1})$$





Теорема о свертке

$$\begin{aligned}\mathcal{F}[f * g] &= \sum_n f * g e^{-i\omega n} = \sum_n \sum_m f(m) g(n - m) e^{-i\omega n} \\ &= \sum_m f(m) \sum_n g(n - m) e^{-i\omega n} \\ &= \sum_m f(m) \hat{g}(\omega) e^{-i\omega m}\end{aligned}$$

ДПФ от свертки – произведение ДПФ!

Быстрое преобразование Фурье (БПФ)

Сложность ДПФ: $O(N^2)$.

Пусть N - степень двойки. «Разделяй и властвуй»:

$$X_k = \sum_{n=0}^{N-1} x_n \cdot e^{-i 2\pi k n / N} = \sum_{m=0}^{N/2-1} x_{2m} \cdot e^{-i 2\pi k (2m) / N} + \sum_{m=0}^{N/2-1} x_{2m+1} \cdot e^{-i 2\pi k (2m+1) / N}$$

$$= \sum_{m=0}^{N/2-1} x_{2m} \cdot e^{-i 2\pi k m / (N/2)} + e^{-i 2\pi k / N} \sum_{m=0}^{N/2-1} x_{2m+1} \cdot e^{-i 2\pi k m / (N/2)}$$

Симметрия: $X_{N+k} = \sum_{n=0}^{N-1} x_n \cdot e^{-i 2\pi (N+k) n / N} = \sum_{n=0}^{N-1} x_n \cdot e^{-i 2\pi n} \cdot e^{-i 2\pi k n / N} = X_k$

Сложность БПФ: $O(N \log N)$



Джеймс Кули



Джон Тьюки

Двумерное преобразование Фурье

НПФ

$$F(u, v) = \int_{-\infty}^{\infty} \int_{-\infty}^{\infty} f(x, y) e^{-j2\pi(ux+vy)} dx dy,$$

$$f(x, y) = \int_{-\infty}^{\infty} \int_{-\infty}^{\infty} F(u, v) e^{j2\pi(ux+vy)} du dv$$

ДПФ

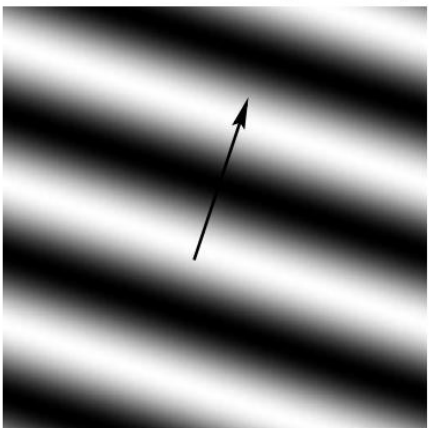
$$\hat{h}(k, l) = \sum_{n=0}^{N-1} \sum_{m=0}^{M-1} e^{-i(\omega_k n + \omega_l m)} h(n, m)$$

$$h(n, m) = \frac{1}{NM} \sum_{k=0}^{N-1} \sum_{l=0}^{M-1} e^{i(\omega_k n + \omega_l m)} \hat{h}(k, l)$$

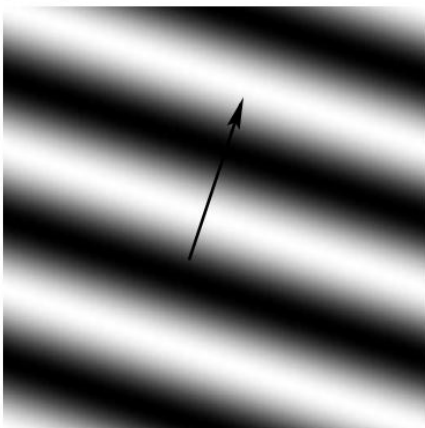
$|F(u,v)|$ - амплитудный (magnitude) спектр
 $\text{atan}(\text{Im}(F)/\text{Re}(F))$ – фазовый (phase angle) спектр

Базисные функции

Grating for $(k,l) = (1,-3)$

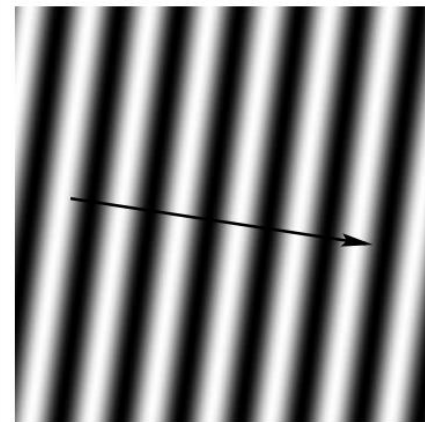


$f(x,y)$ ^{Real}



Imag

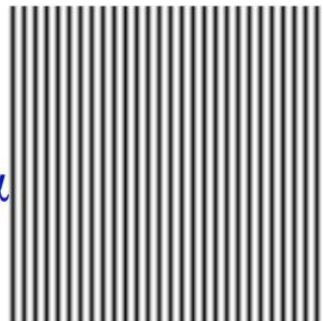
Grating for $(k,l) = (7,1)$



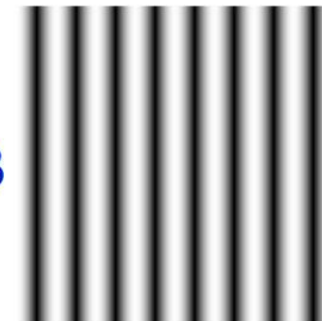
Real



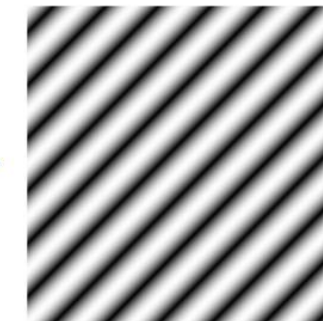
$= \alpha$



$+\beta$



$+\gamma$



$+ \dots$

<https://www.di.univr.it/documenti/OccorrenzaNs/matdid/matdid346761.pdf>

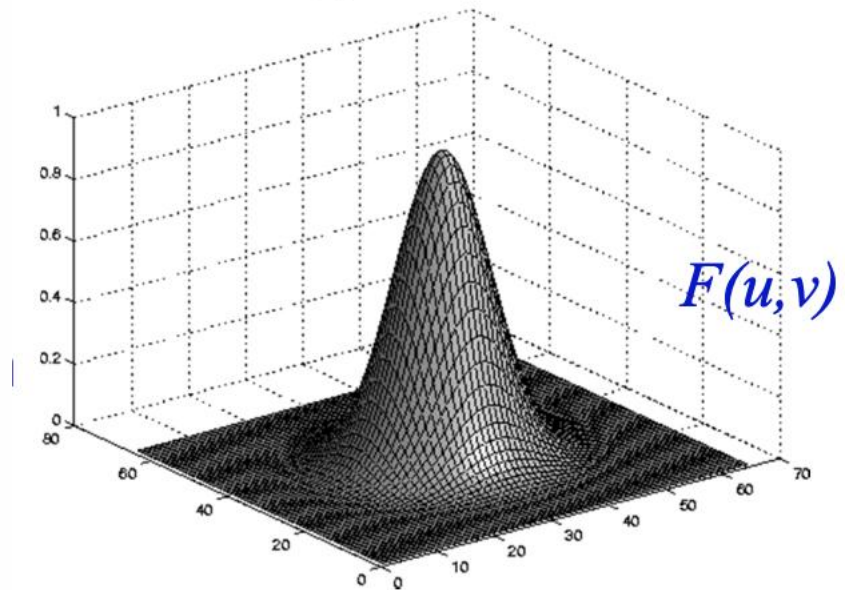
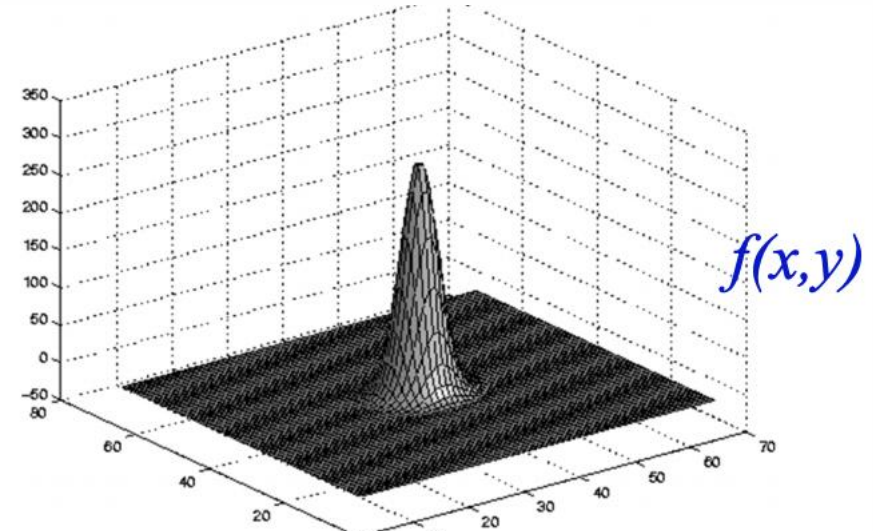
<http://www.robots.ox.ac.uk/~az/lectures/ia/lect2.pdf>

Функция Гаусса

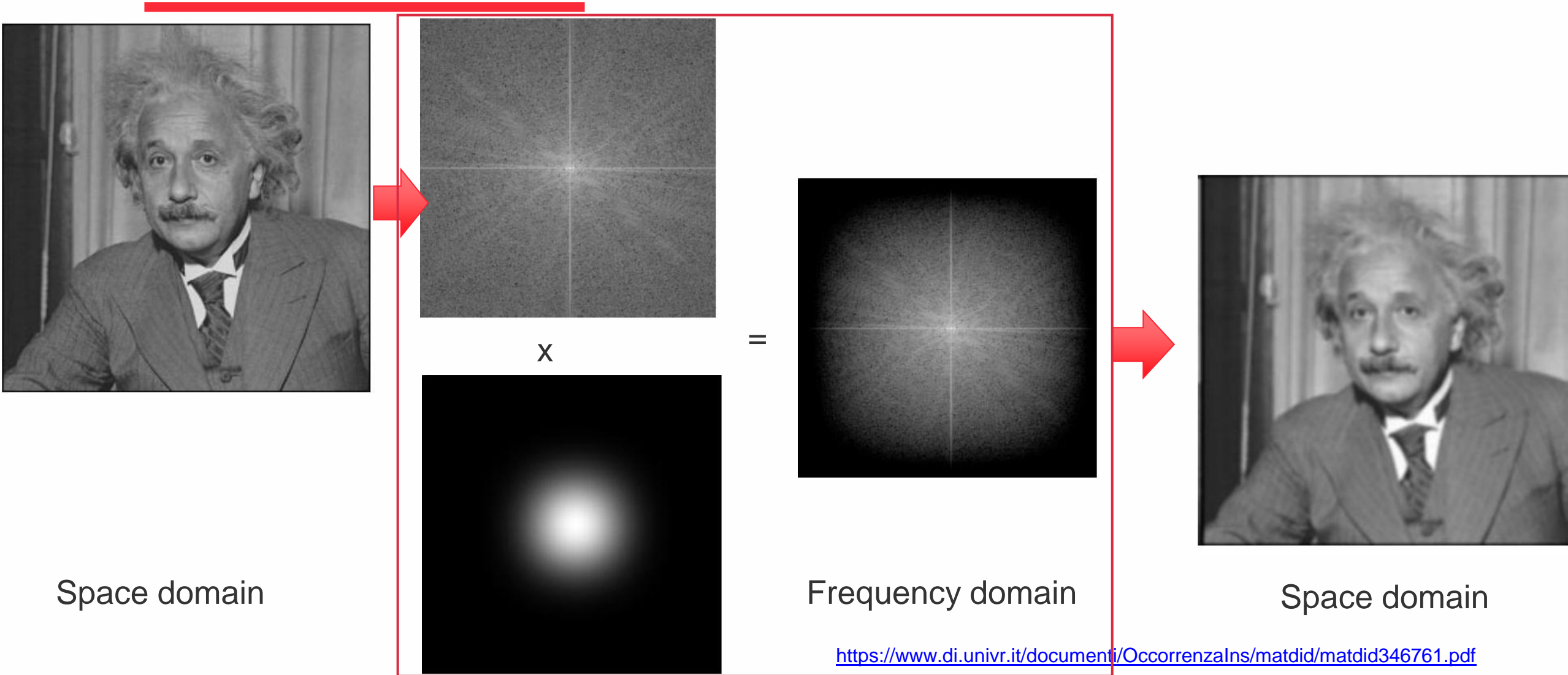
$$f(r) = \frac{1}{2\pi\sigma^2} e^{-r^2/2\sigma^2} \quad r^2 = x^2 + y^2.$$



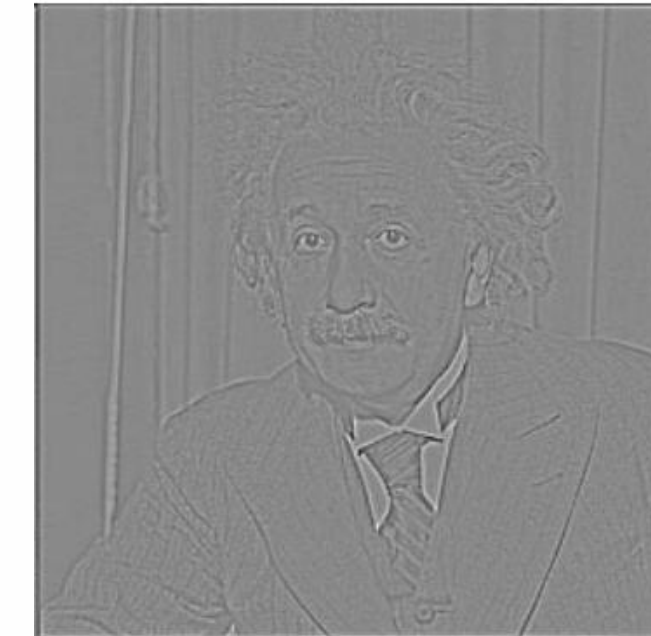
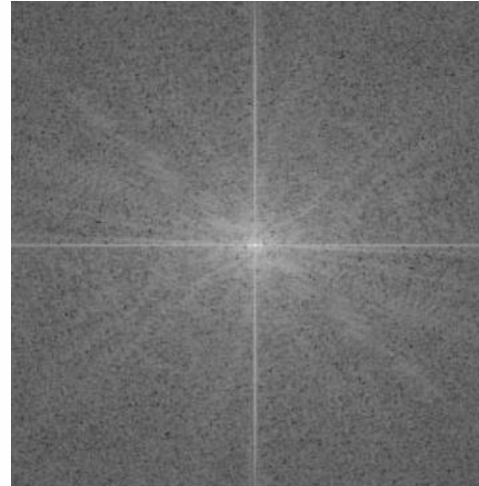
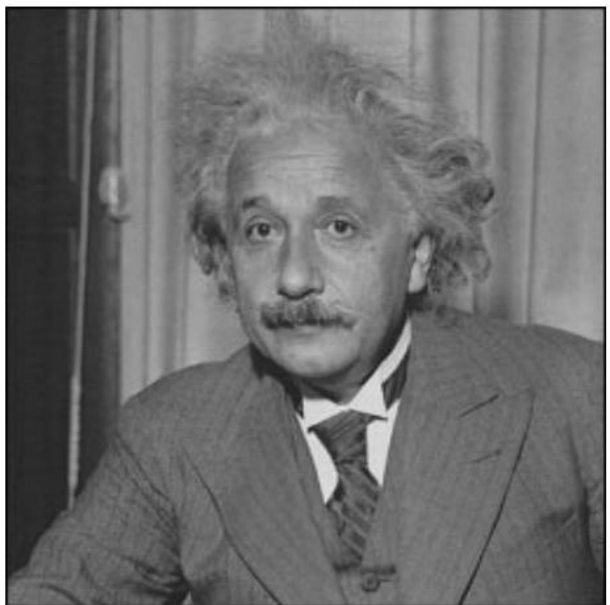
$$F(u, v) = F(\rho) = e^{-2\pi^2\rho^2\sigma^2} \quad \rho^2 = u^2 + v^2.$$



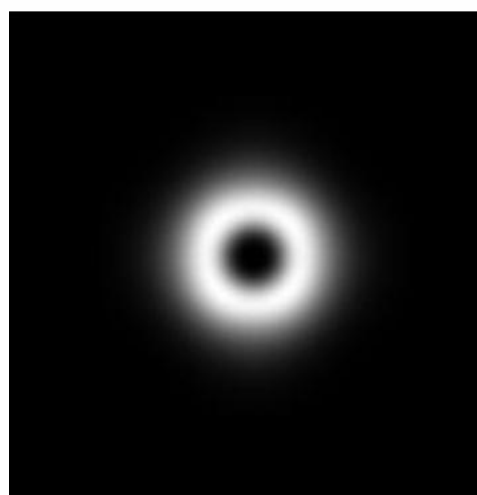
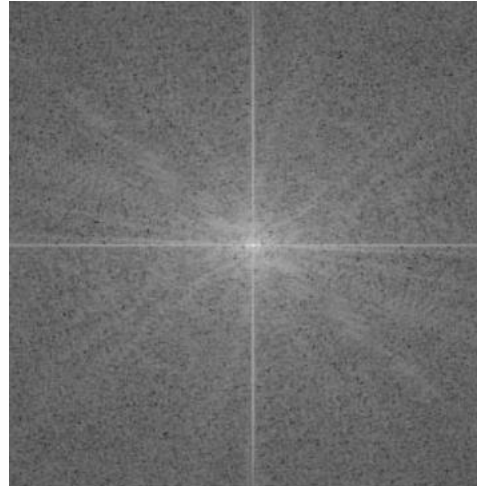
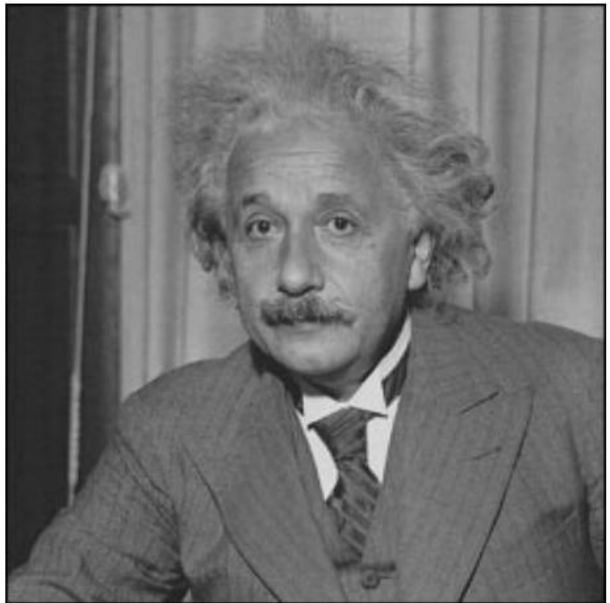
Низкочастотный (low-pass) фильтр



Высокочастотный (high-pass) фильтр



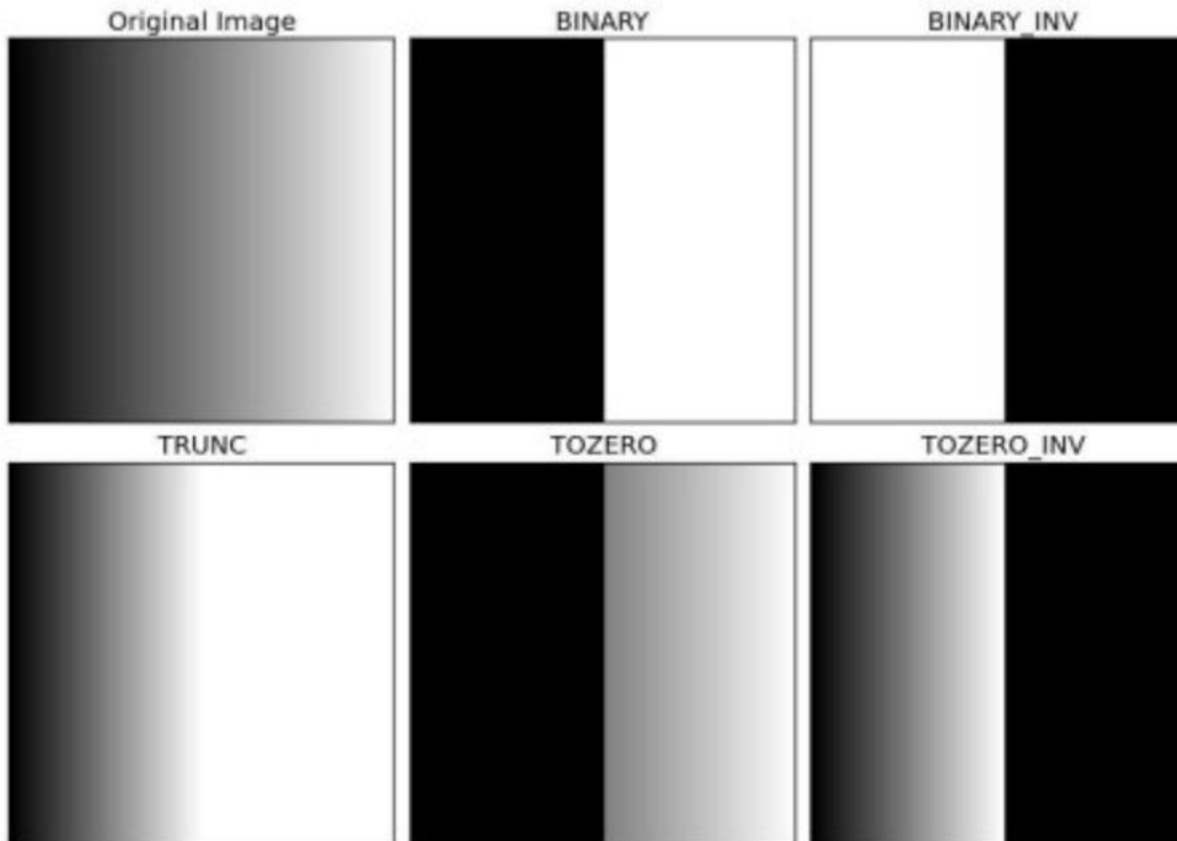
Полосовой (band-pass) фильтр



Бинаризация изображений

Пороговая бинаризация (global thresholding)

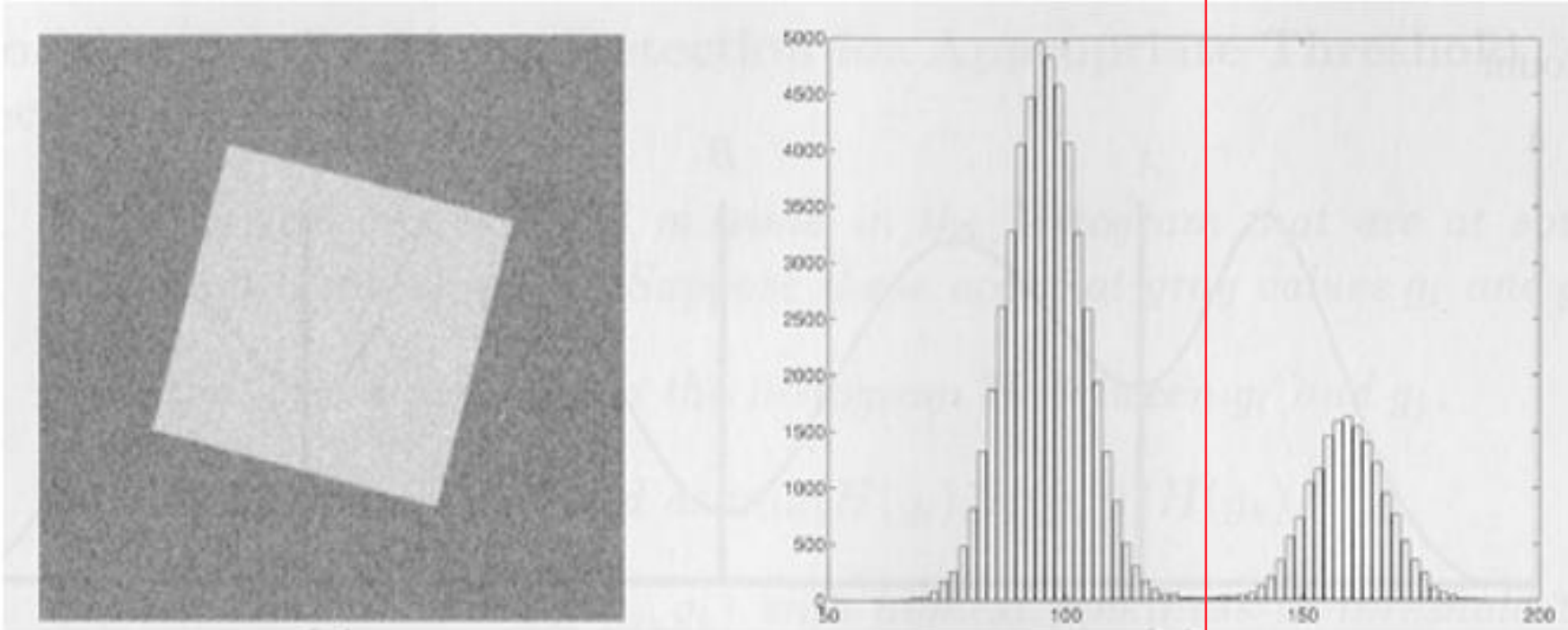
If $f(x, y) > T$ then $f(x, y) = 0$ else $f(x, y) = 255$



OpenCV: `threshold()`

https://docs.opencv.org/master/d7/d4d/tutorial_py_thresholding.html

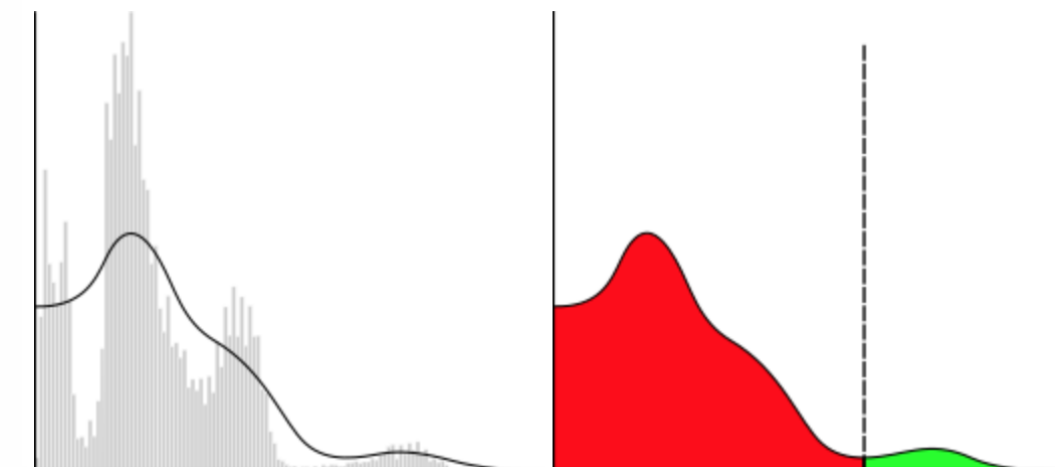
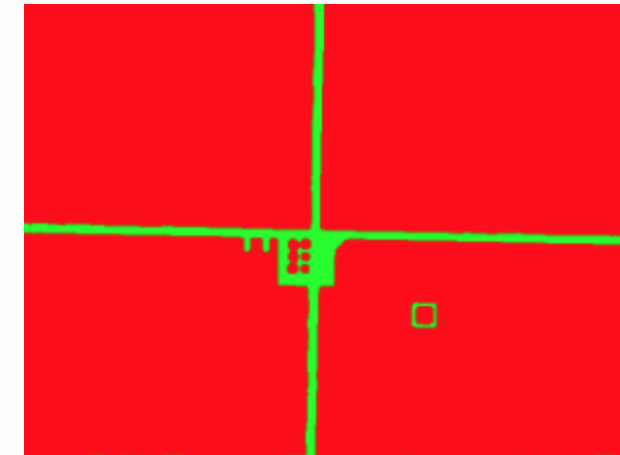
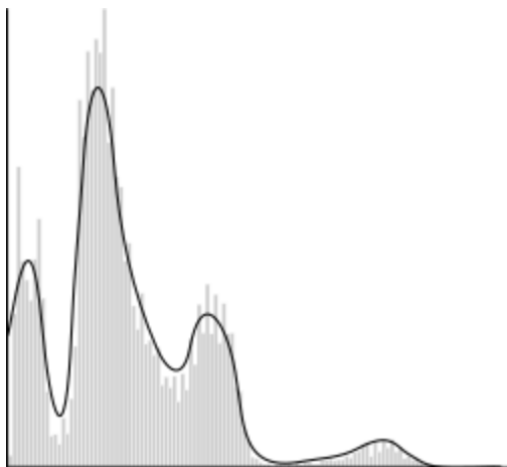
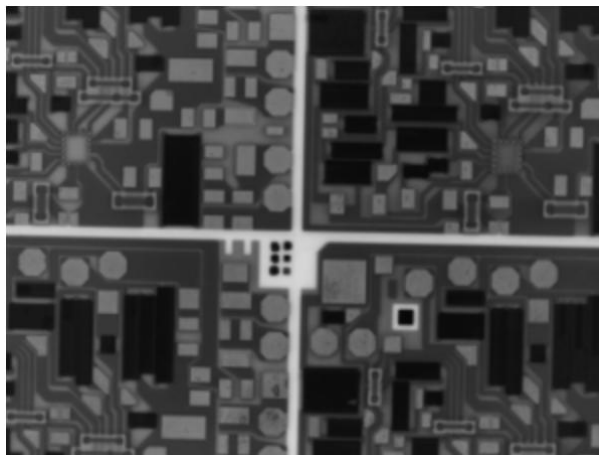
Автоматический выбор порога (1)



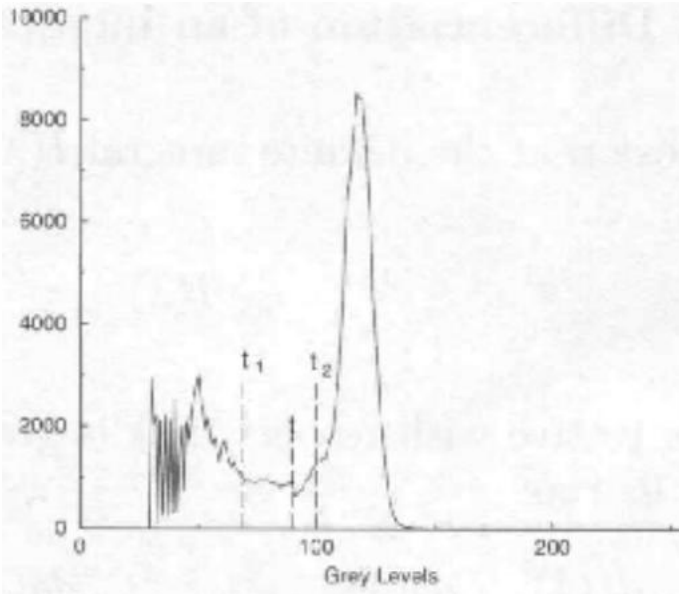
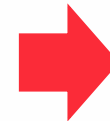
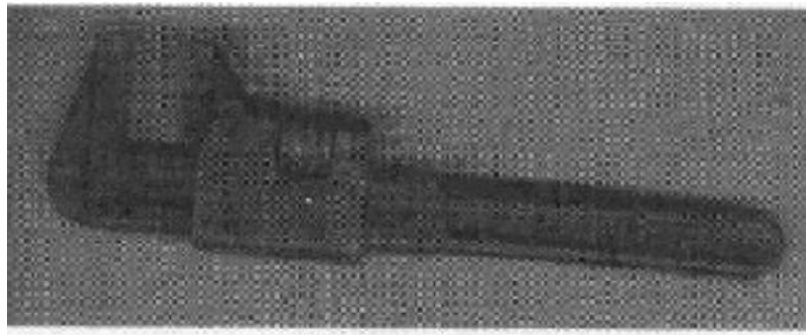
Порог можно подобрать по гистограмме

Автоматический выбор порога (2)

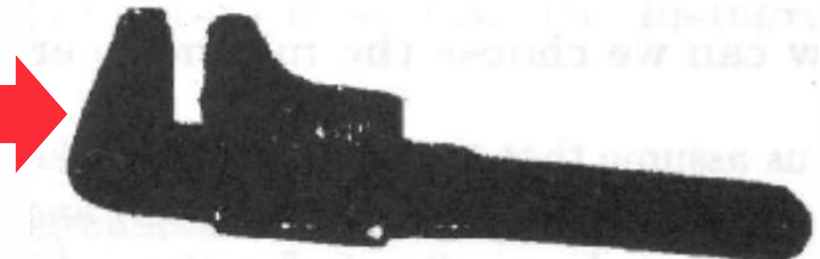
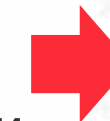
Гистограмма сглаживается с помощью одномерного фильтра Гаусса, пока не будет только один локальный минимум



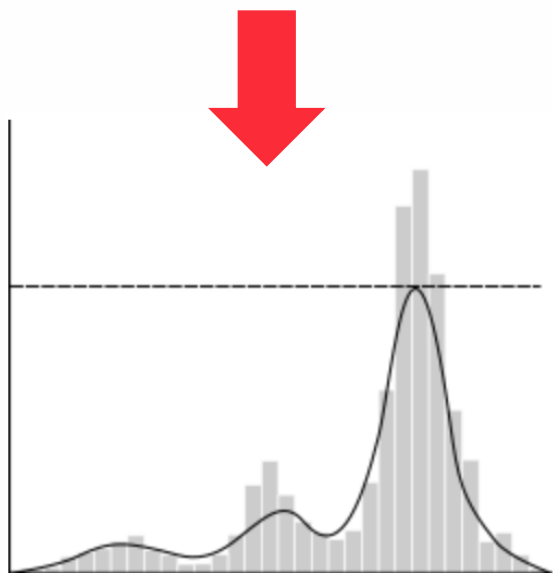
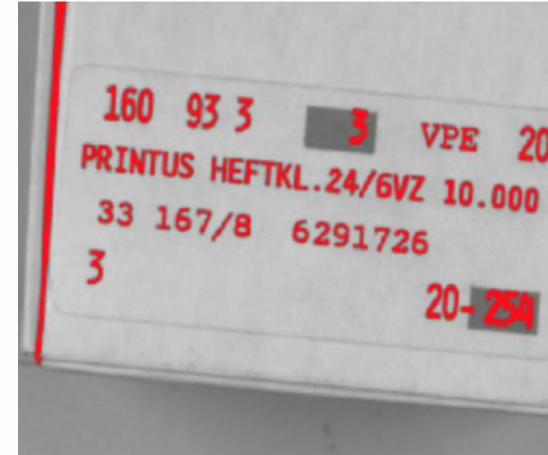
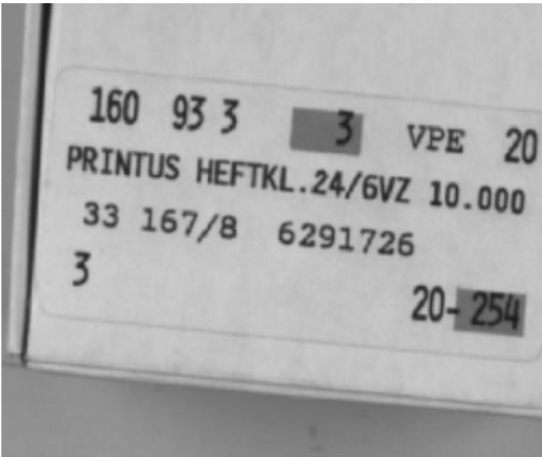
Гистерезис



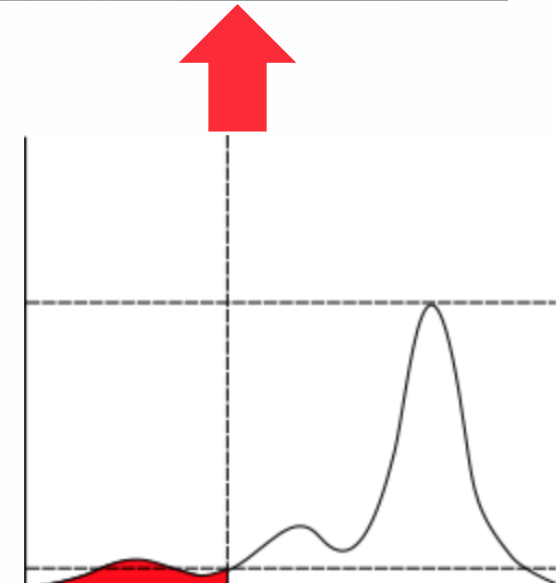
1. Два порога (точно фон и точно объект)
2. Остальные точки классифицируются как часть объекта, только если они касаются других точек объекта



Сегментация текста

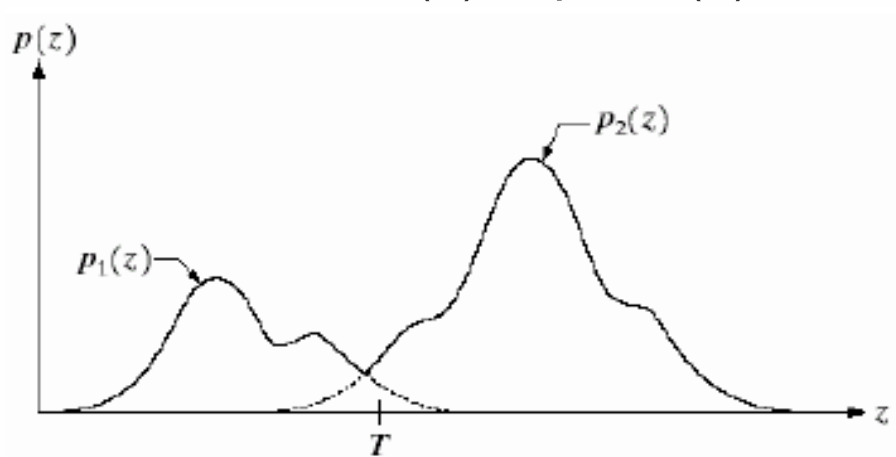


histogram[threshold] * 100.0 <
histogram[maximum] * (100.0 - Percent)



Оптимальный выбор порога

Распределение интенсивностей
объекта (1) и фона (2)



Вероятность ошибки ложной тревоги (фон как объект)

$$E_1(T) = \int_{-\infty}^T p_2(z) dz$$

Вероятность пропуска объекта (объект как фон)

$$E_2(T) = \int_T^{\infty} p_1(z) dz$$

Цель – выбрать порог T , минимизирующий
среднюю ошибку

$$E(T) = P_2 E_1(T) + P_1 E_2(T)$$

Решение для нормальных распределений

$$T = \frac{\mu_1 + \mu_2}{2} + \frac{\sigma^2}{\mu_1 - \mu_2} \ln \left(\frac{P_2}{P_1} \right)$$

Метод Оцу

$P(i), i=1, 2, \dots, L$ - гистограмма

$$q_b(T) = \sum_{i=1}^T P(i), \quad q_o(T) = \sum_{i=T+1}^L P(i) \quad (q_b(T) + q_o(T) = 1)$$

$$\sigma^2 = \sum_{i=1}^L (i - \mu)^2 P(i) = \boxed{q_b(T)\sigma_b^2(T) + q_o(T)\sigma_o^2(T)} + \boxed{q_b(T)(\mu_b(T) - \mu)^2 + q_o(T)(\mu_o(T) - \mu)^2}$$

Средняя внутриклассовая
дисперсия

Средняя межклассовая
дисперсия

Минимум внутриклассовой дисперсии – в том же T , что и максимум межклассовой дисперсии

$$\sigma_B^2 = \frac{[\mu(T) - \mu q_B(T)]^2}{q_B(T) q_o(T)}$$

$$\mu(T) = \sum_{i=1}^T iP(i) \quad \mu = \frac{\sum_{i=1}^L iP(i)}{\sum_{i=1}^L P(i)} = \sum_{i=1}^L iP(i)$$

OpenCV:
`threshold(THRESH_OTSU)`

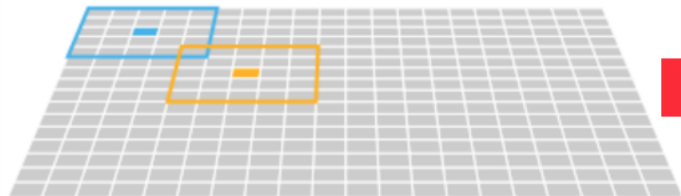
<https://www.cse.unr.edu/~bebis/CS791E/Notes/Thresholding.pdf>

https://docs.opencv.org/master/d7/d4d/tutorial_py_thresholding.html

Локальные методы (local thresholding)



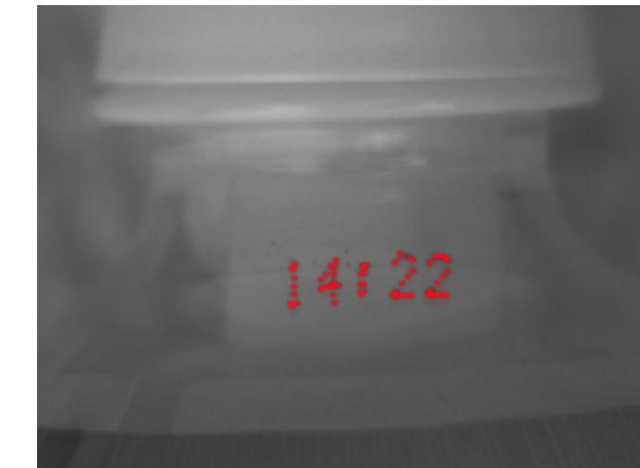
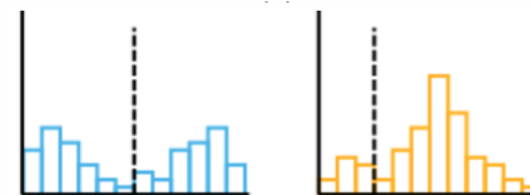
Окрестность каждой точки
анализируется отдельно



Глобальный порог



Локальные
гистограммы



OpenCV: `adaptiveThreshold()`

https://www.mvtec.com/doc/halcon/1805/en/toc_segmentation_threshold.html



Перейдем к примерам

<https://github.com/HSE-asavchenko/MADE-mobile-image-processing/tree/master/lesson2/src>